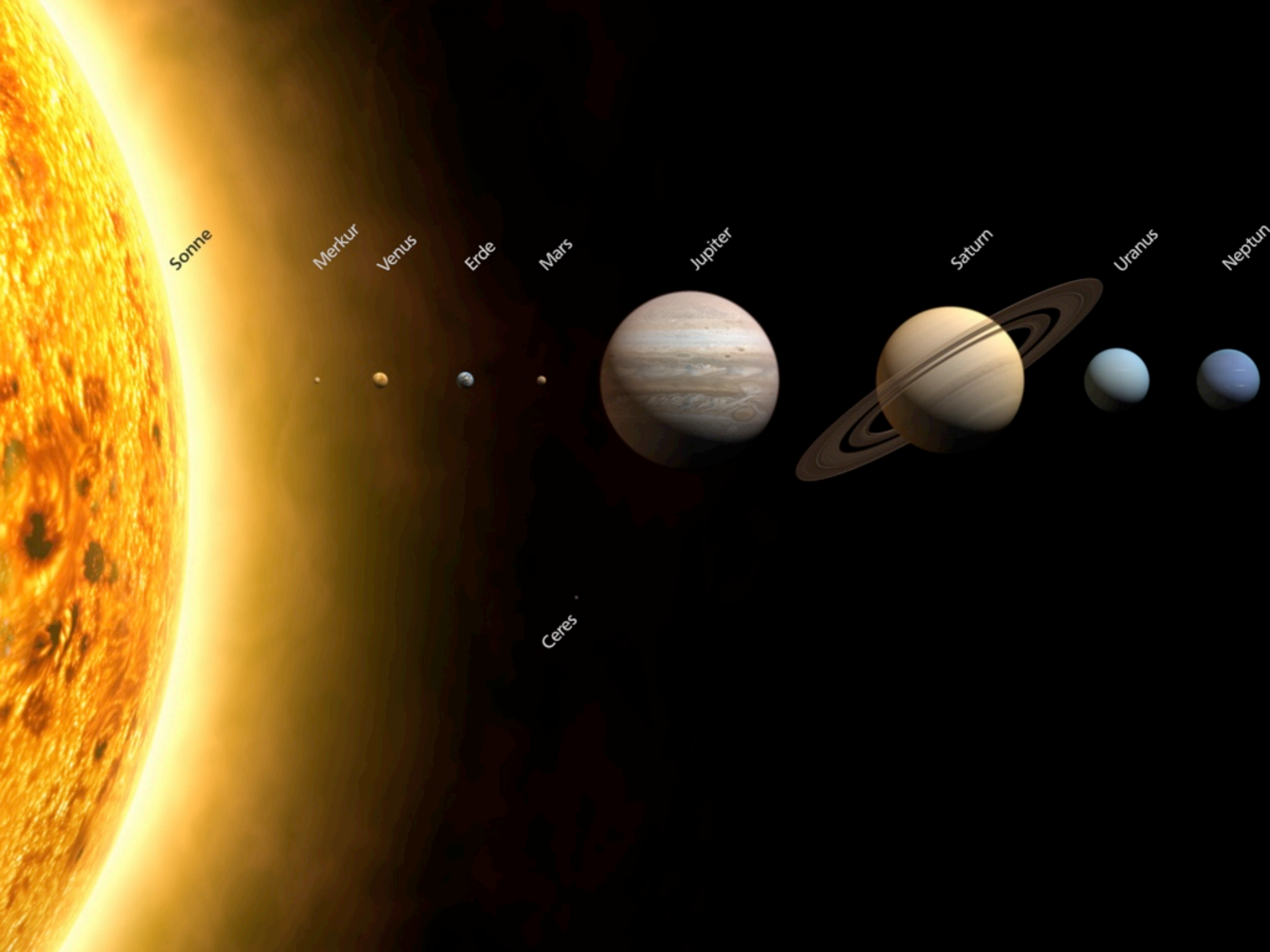


# Ferne Welten: Extrasolare Planeten und die Entstehung von Sonnensystemen

Prof. Dr. Robi Banerjee  
Universität Hamburg



Sonne

Merkur

Venus

Erde

Mars

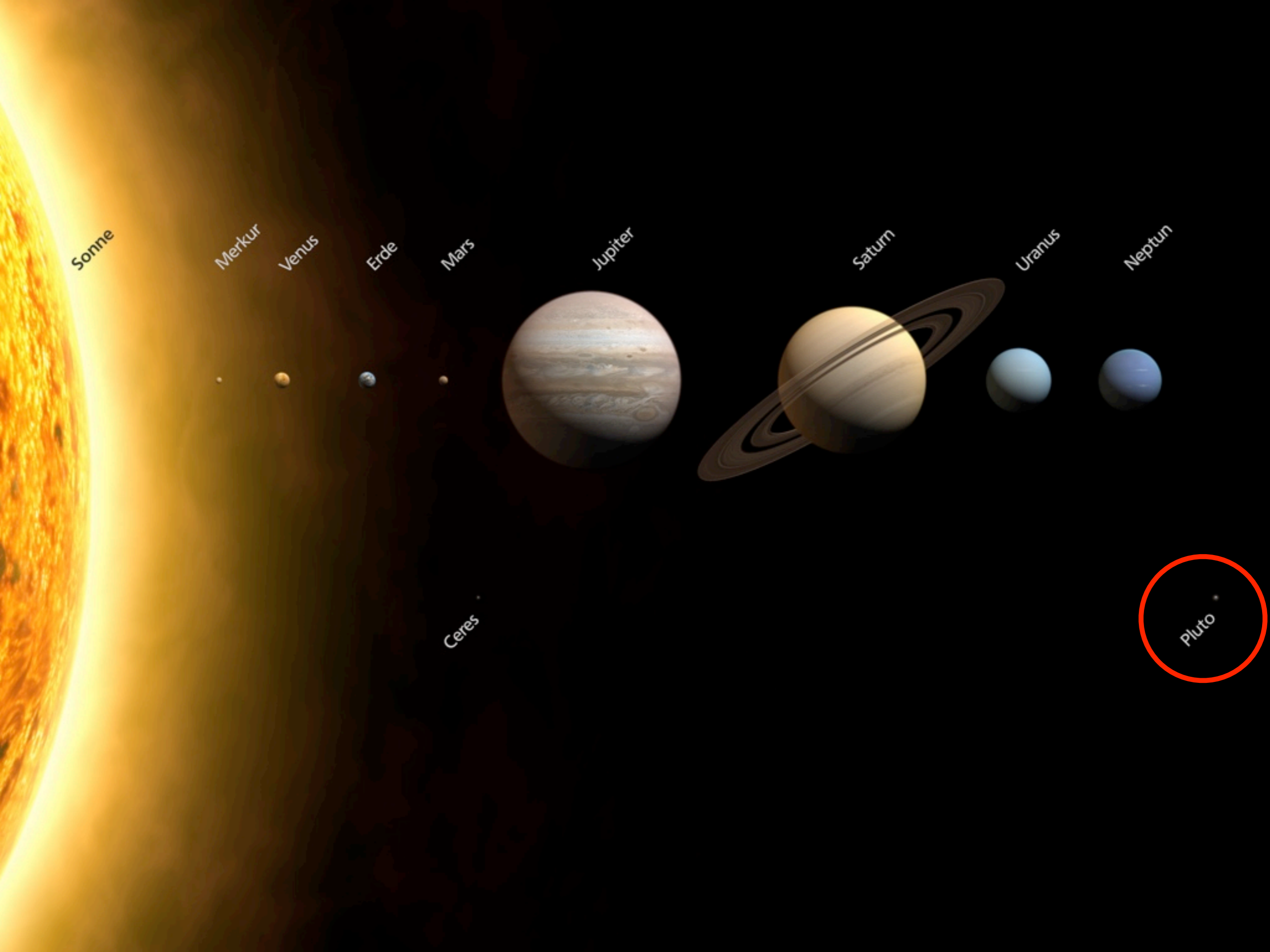
Jupiter

Saturn

Uranus

Neptun

Ceres



Sonne

Merkur

Venus

Erde

Mars

Jupiter

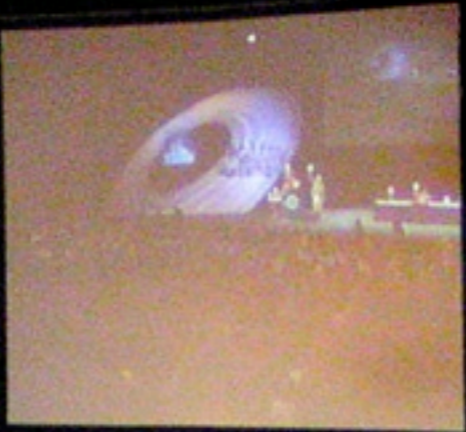
Saturn

Uranus

Neptun

Ceres

Pluto



IAU Resolution: Pluto

**RESOLUTION 6A**  
The IAU further resolves:

Pluto is a "dwarf planet" by the above definition and is recognized as the prototype of a new category of Trans-Neptunian Objects.

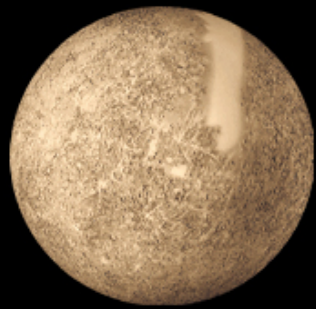
**RESOLUTION 6B**  
The following sentence is added to Resolution 6A:

This category is to be called "plutonian objects."

IAU/Prag: 2006

# Planetentypen

Merkur



Venus



Erde



Mars



NASA

## Terrestrische Planeten

- fester Aufbau: "rocks"
- Entfernung zur Sonne:  $a \leq 1.5 \text{ AE}$

# Planetentypen



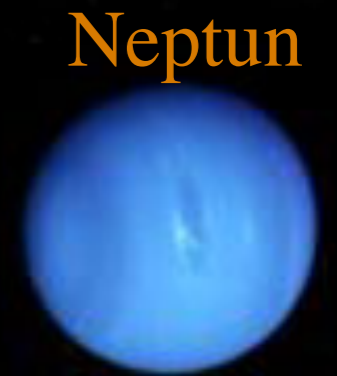
Jupiter



Saturn



Uranus



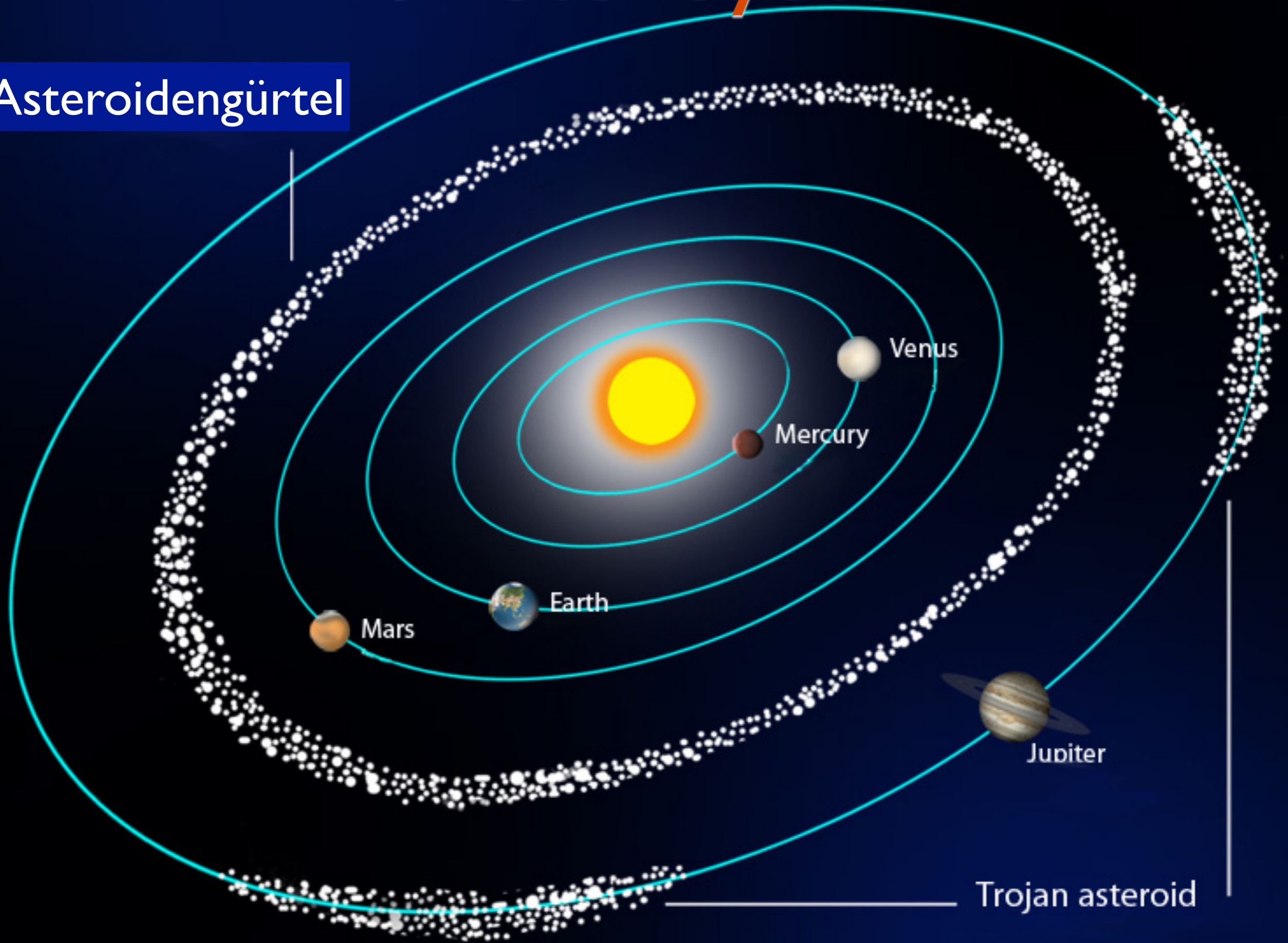
Neptun

## Gasplaneten / Gasriesen

- Gasbälle mit festem Kern
- Entfernung zur Sonne:  $a > 5 \text{ AE}$

# Planetensystem

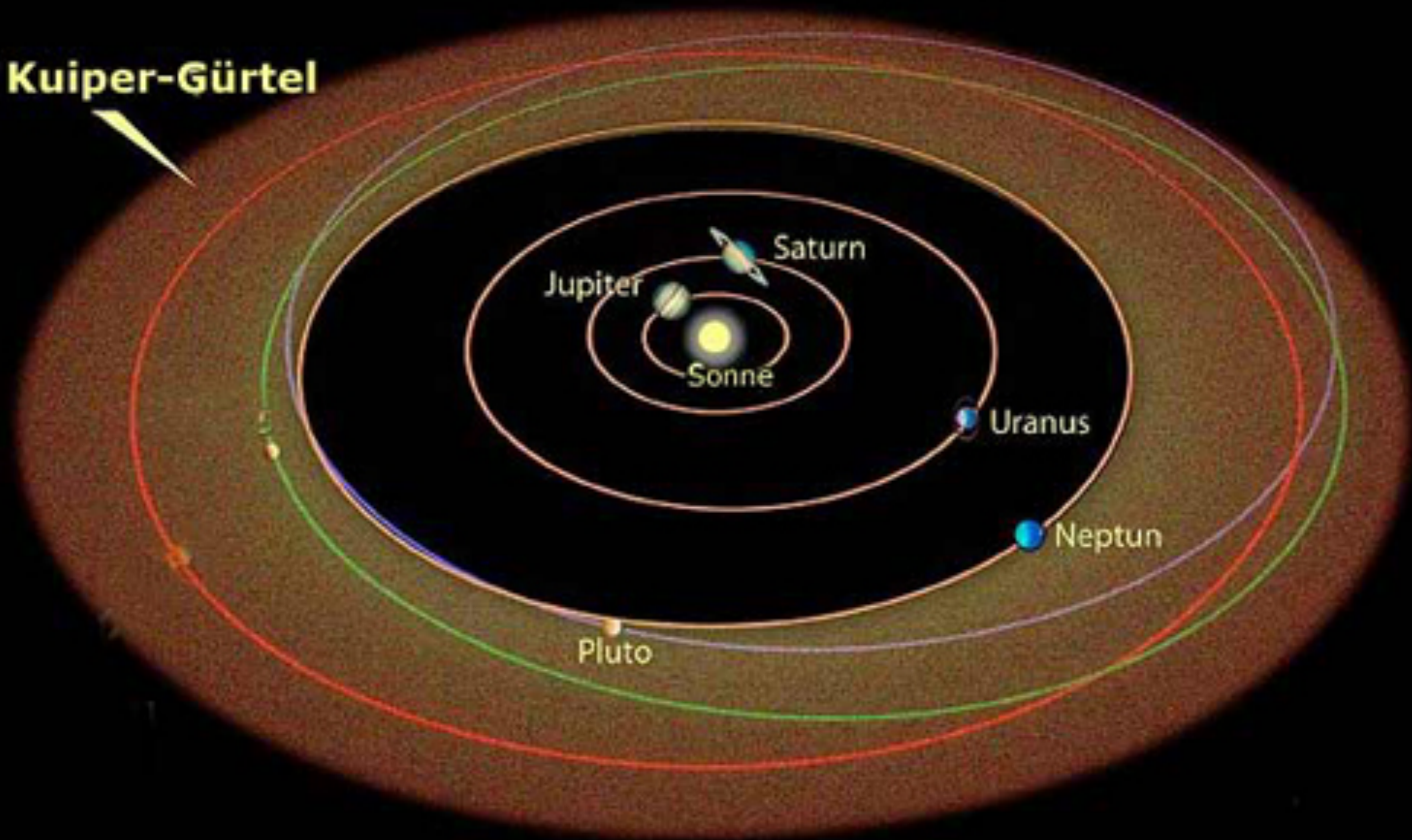
Asteroidengürtel



Trojan asteroid

# Planetensystem

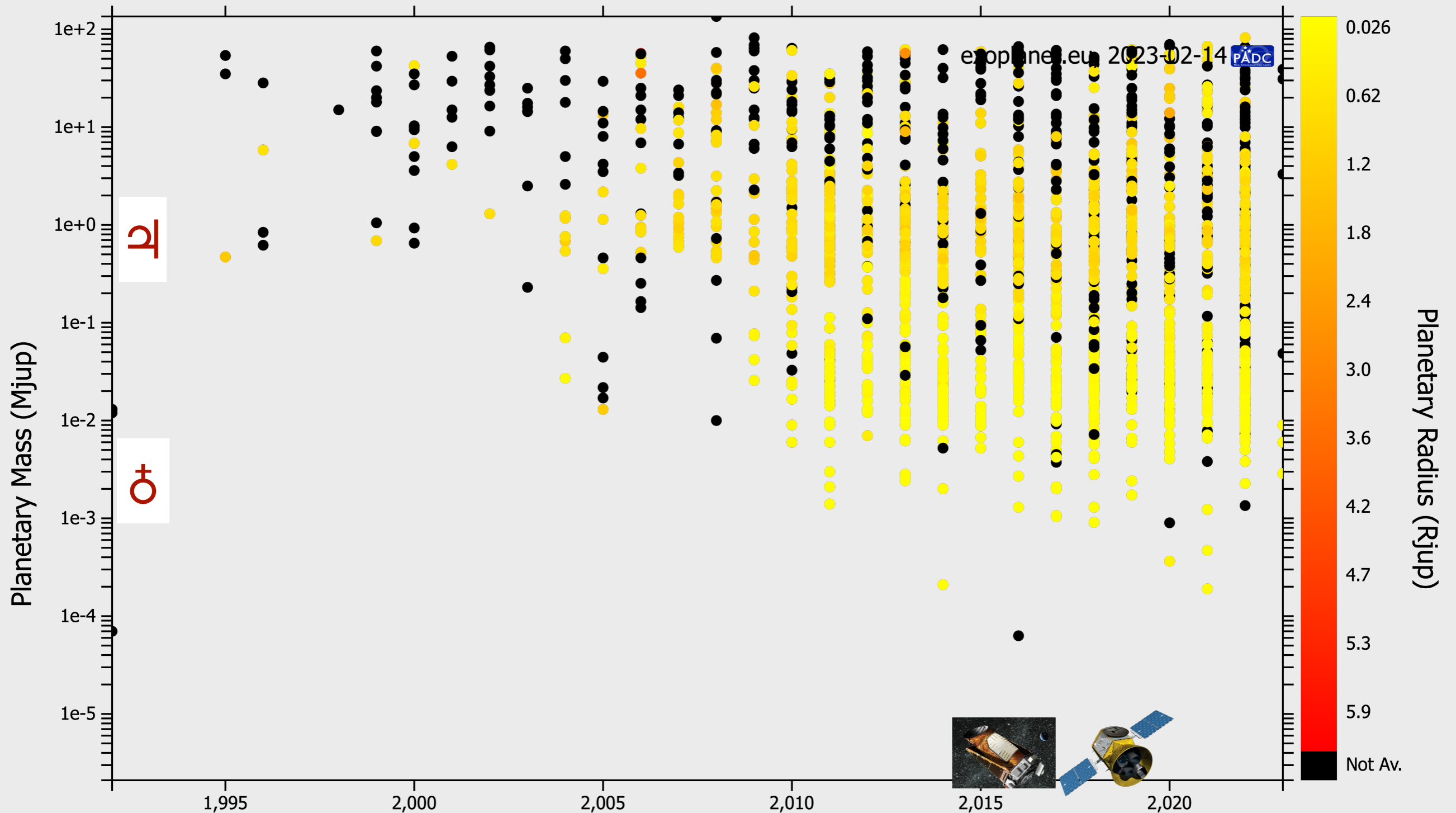
**Kuiper-Gürtel**





# Extrasolare Planetensysteme

- The Extrasolar Planets Encyclopaedia: <http://exoplanet.eu>  
⇒ Stand 2023: **ca. 5300 ExoPlaneten**



# Extrasolare Planeten

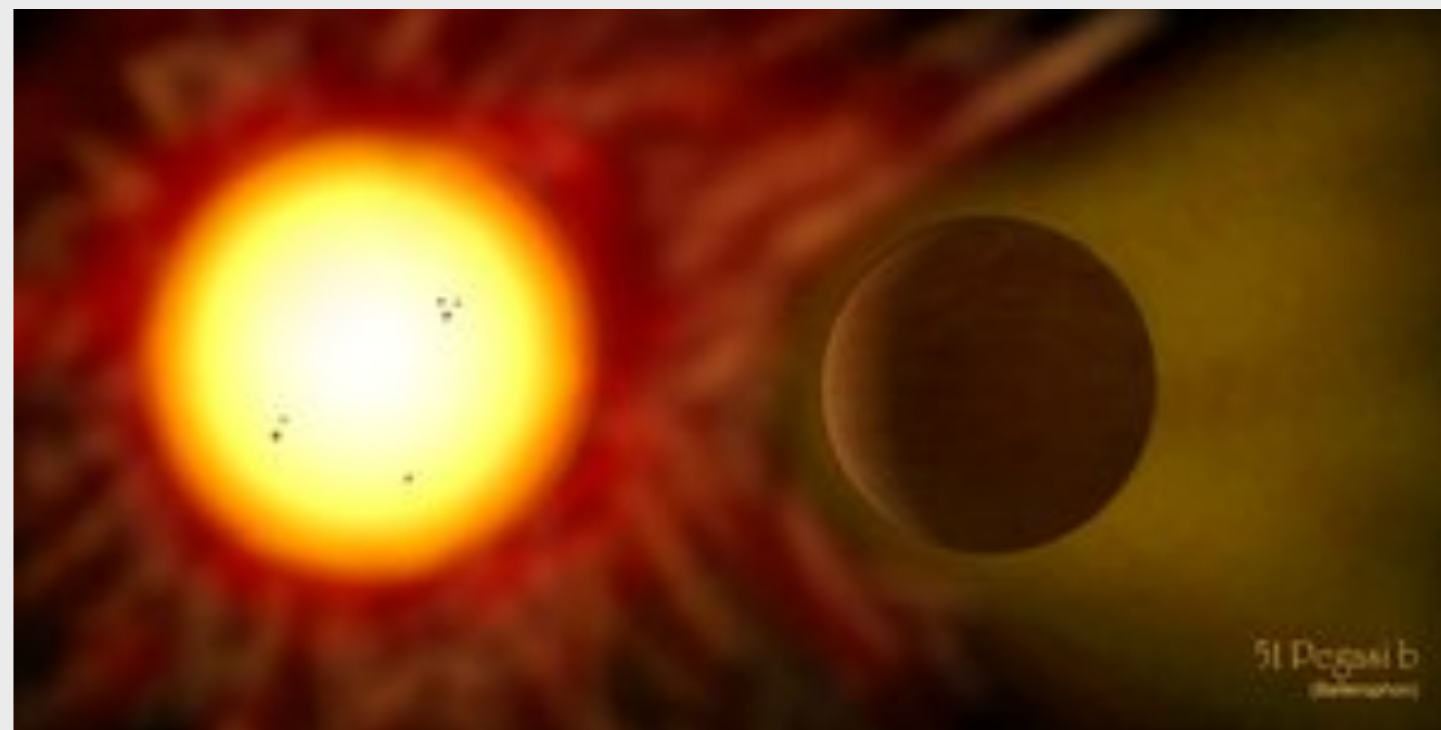
Entdeckung der **ersten** extrasolaren Planeten:

- 1989: HD 114762b, bestätigt 1991 aber evtl. BZ
  - 1992: zwei Planeten um **Pulsar** B1257+12  
von A.Wolszcan & D.Frail
  - 1995: **51 Pegasi b** : Bellerophon  
von M.Mayor & D.Queloz
- Gasriese um sonnenähnlichen Stern (51 Pegasi)

$$P = 4.23 \text{ d}$$

$$a = 0.053 \text{ AE}$$

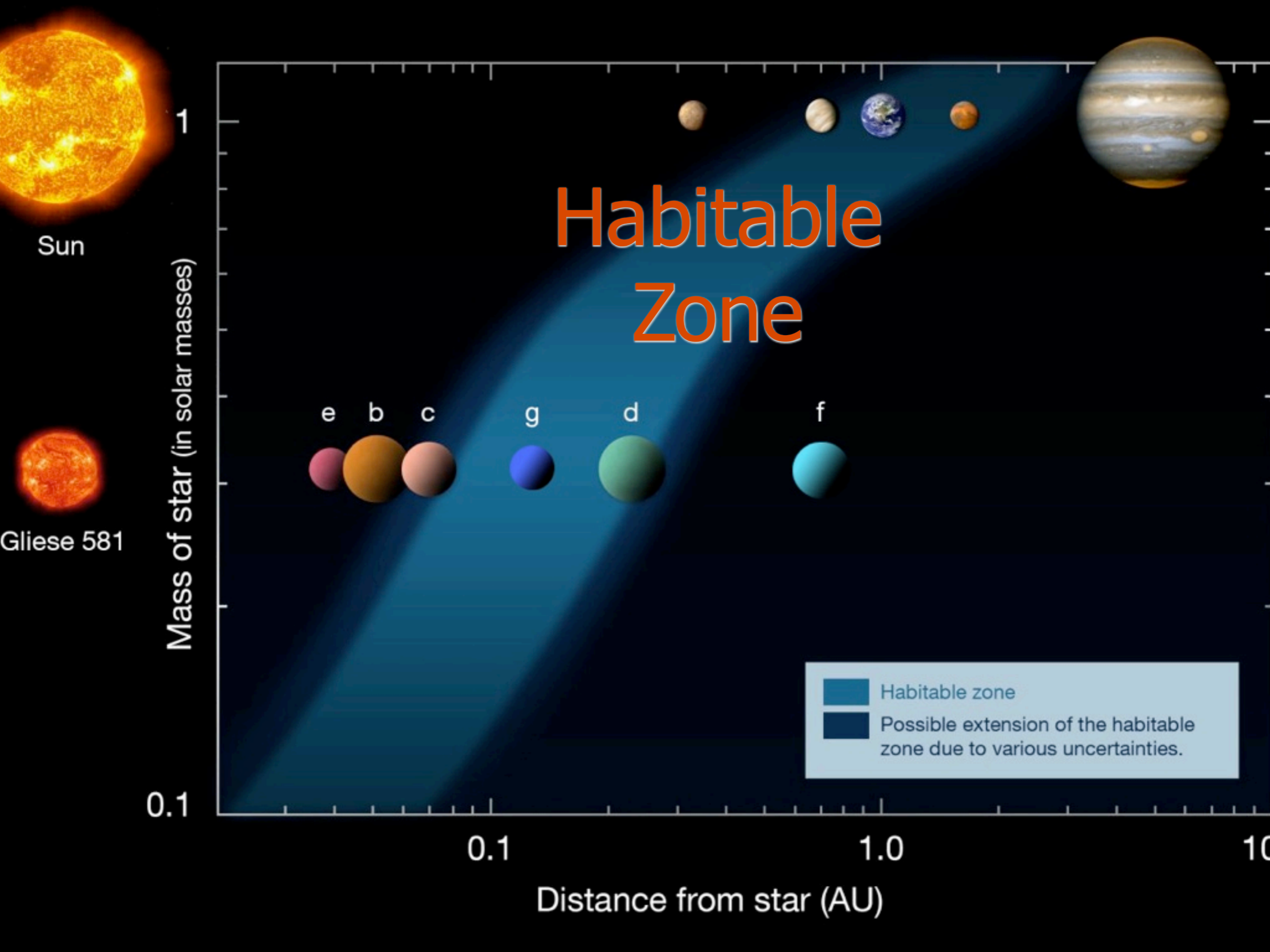
⇒ erster Planet um  
**Hauptreihenstern**  
= sonnenähnlich



# Nobelpreis Physik 2019



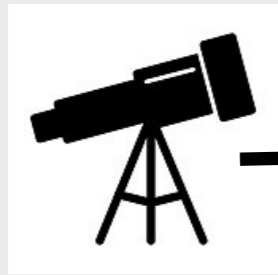
für die Entdeckung des **ersten** extrasolaren Planeten



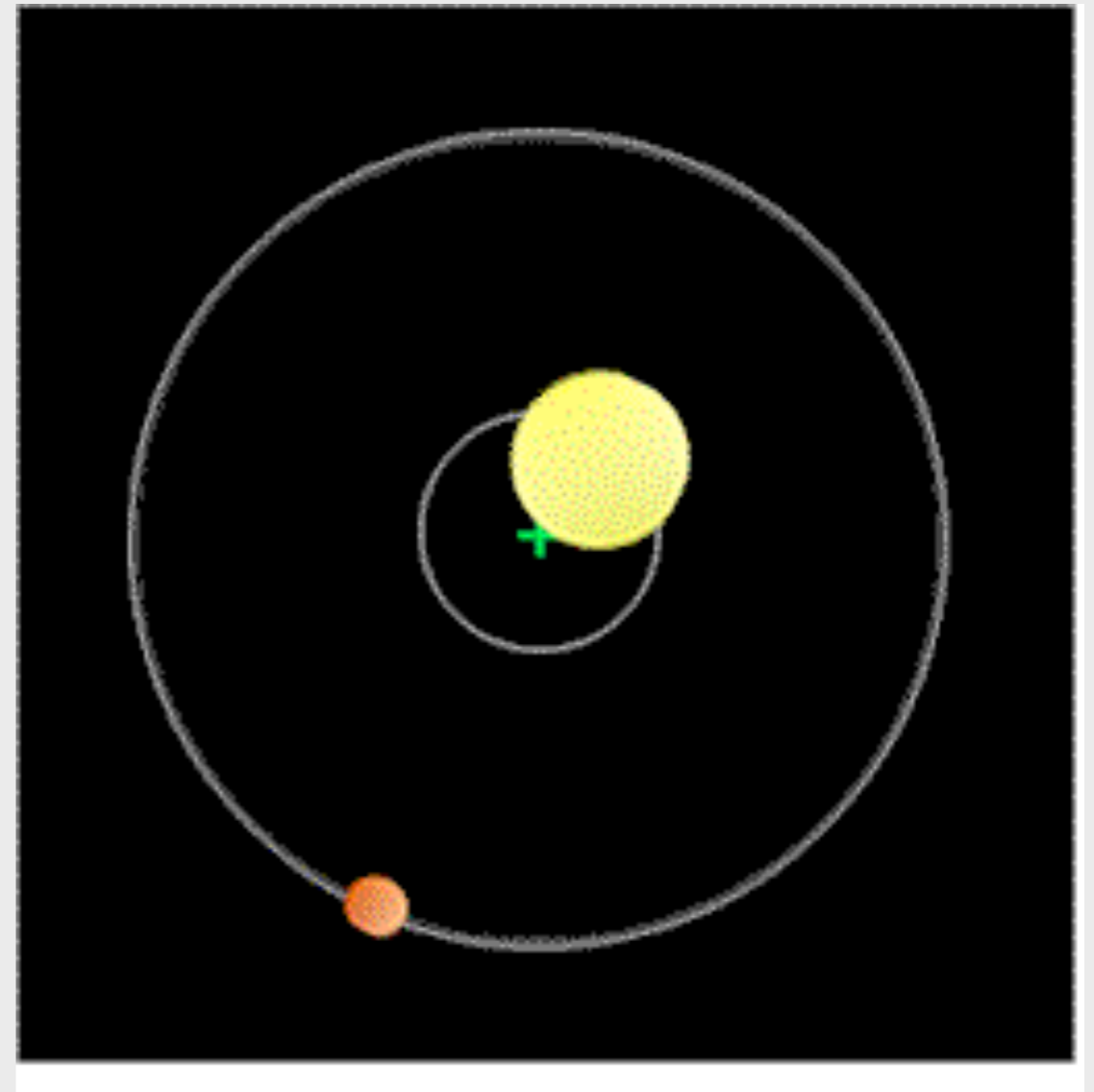
# Nachweismethoden



# RV-Methode

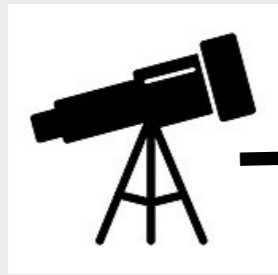


Beobachter

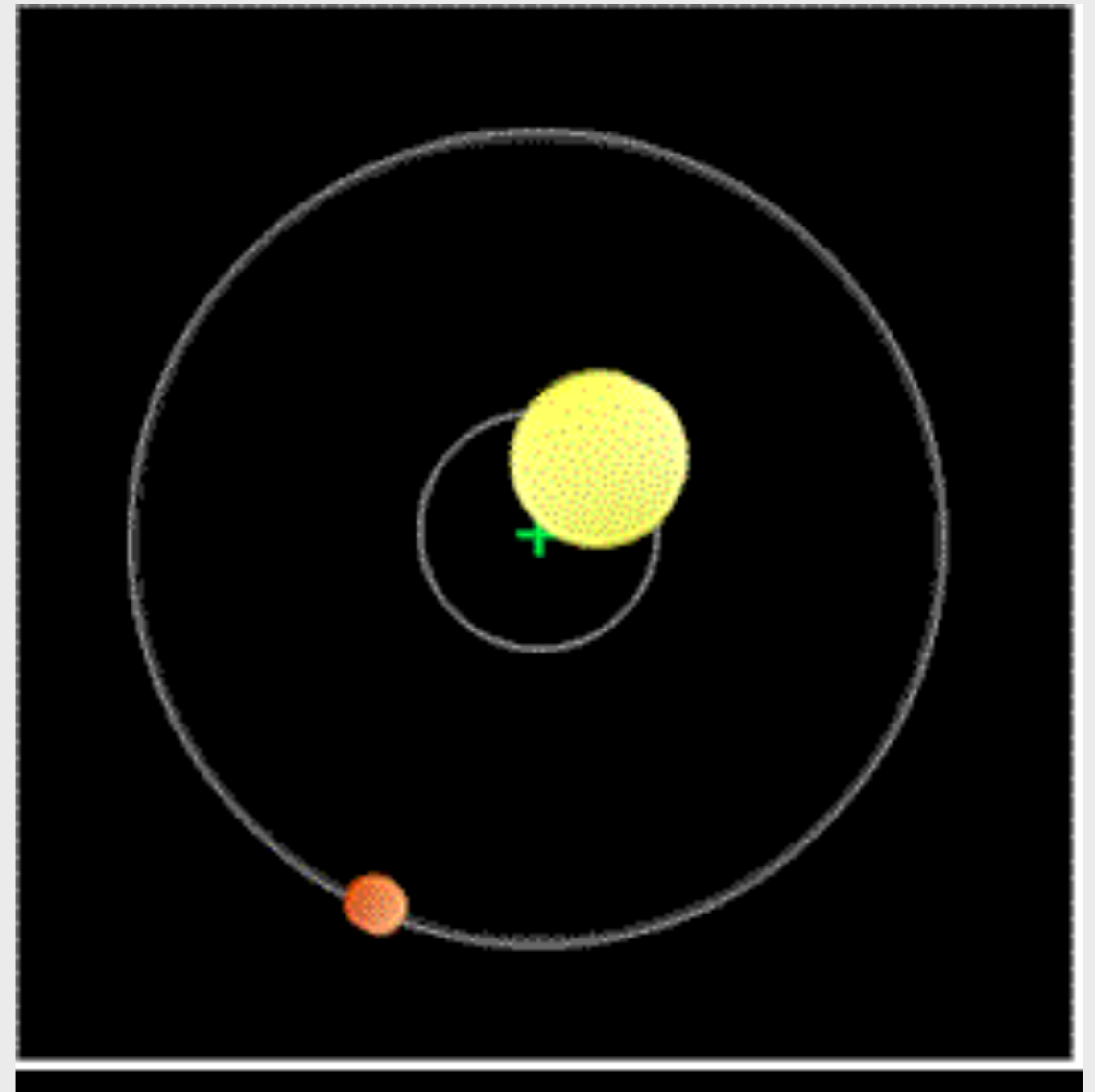


RV: Radialgeschwindigkeitsmethode

# RV-Methode

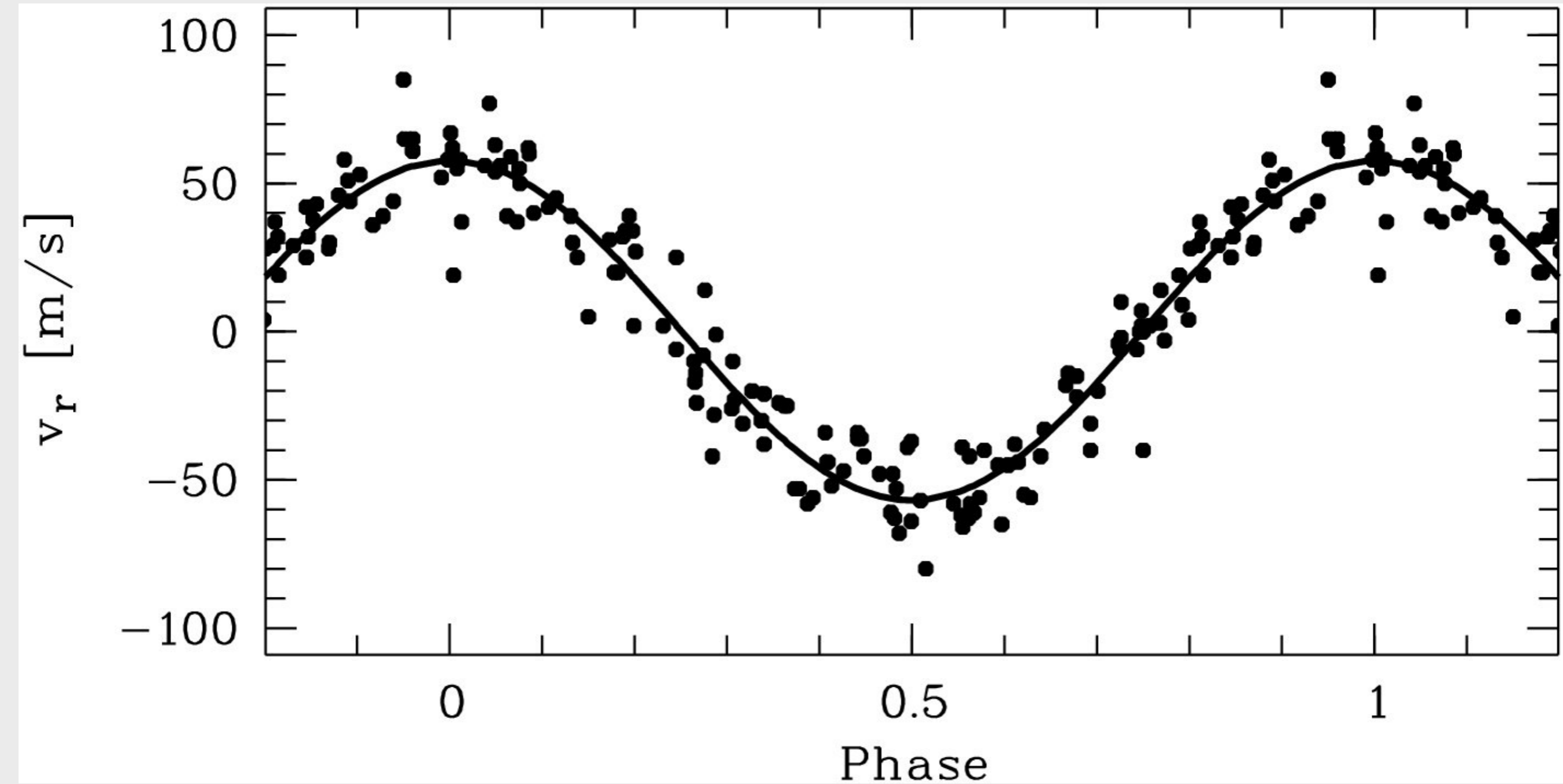


Beobachter



RV: Radialgeschwindigkeitsmethode

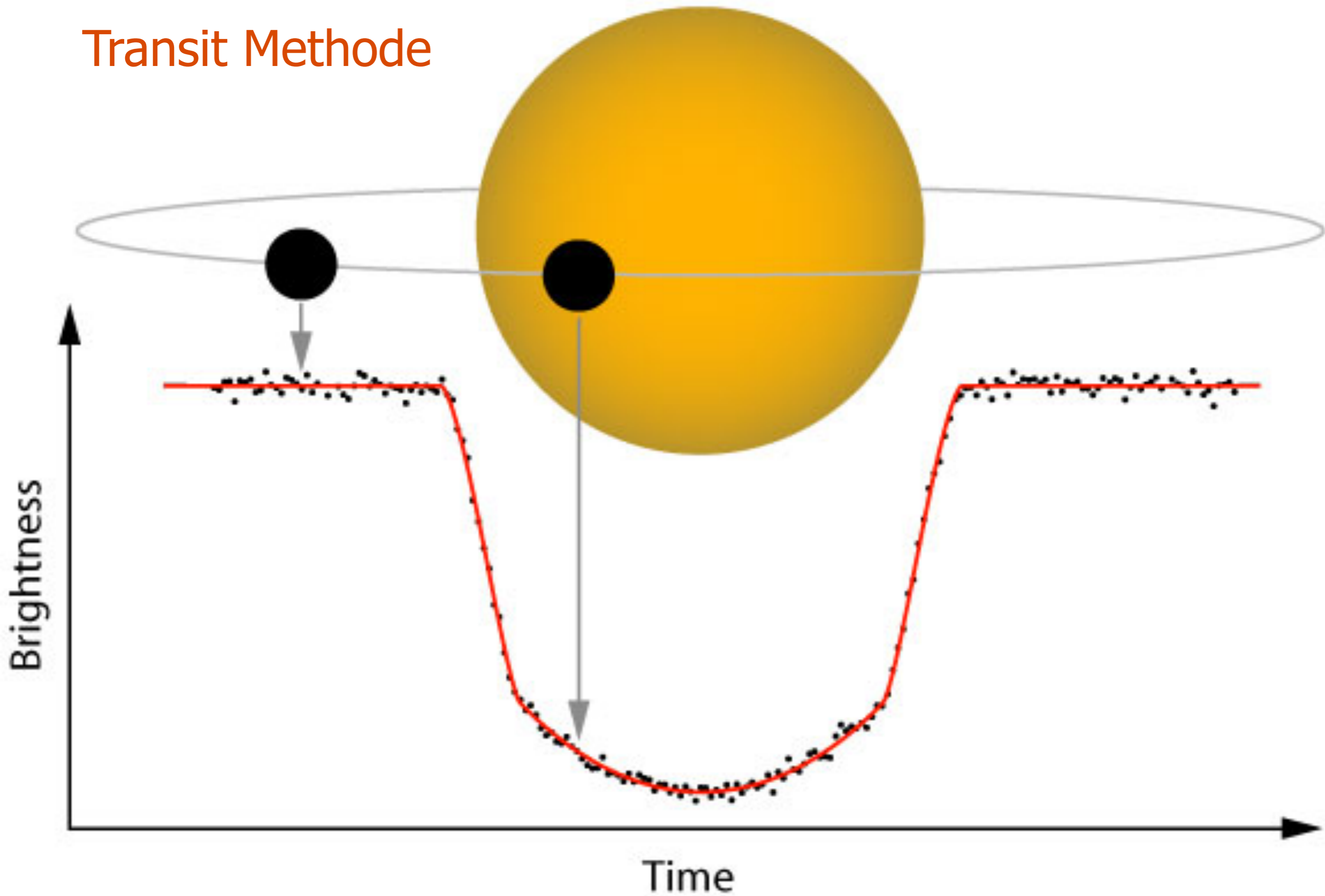
# RV-Methode

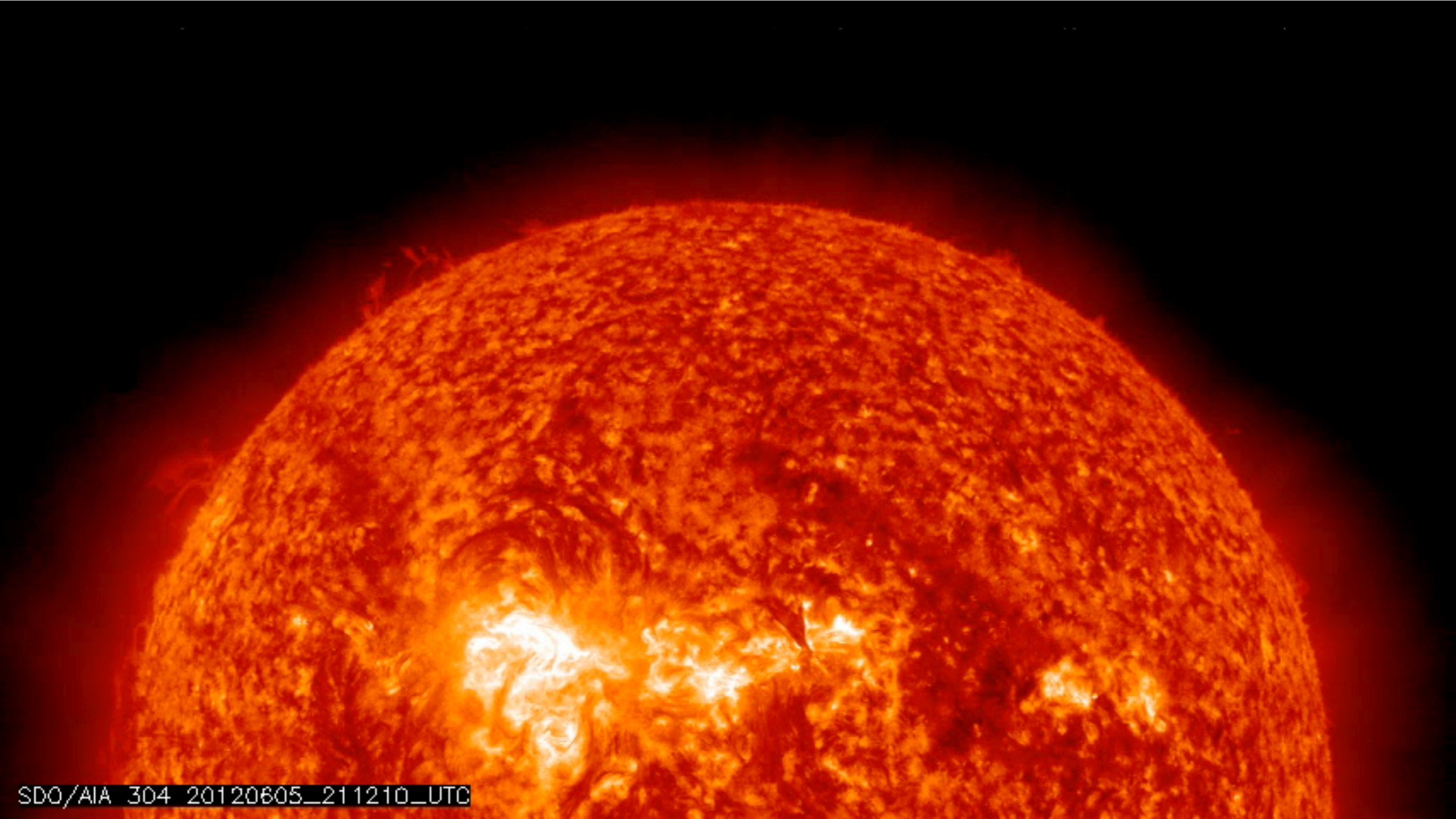


Radialgeschwindigkeitskurve von 51 Peg



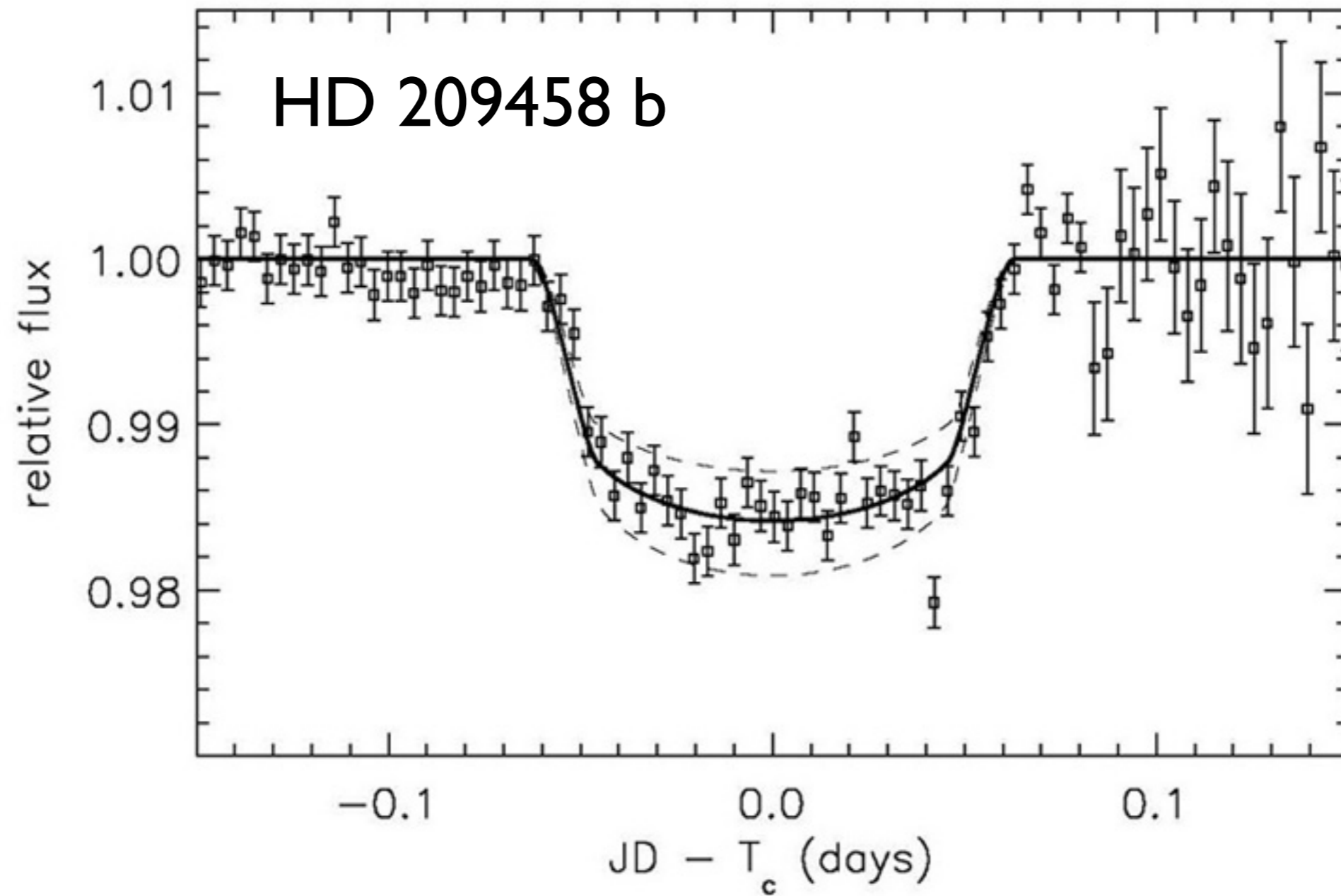
# Transit Methode





SDO/AIA 304 20120605\_211210\_UTC

# Transit Methode



Amateuraufnahme: HD 209458 b um Osiris (in Pegasus)

Kepler  
Mission:  
03/2009  
– 08/2013  
(Hauptmission)

Weiterbetrieb  
bis 2018



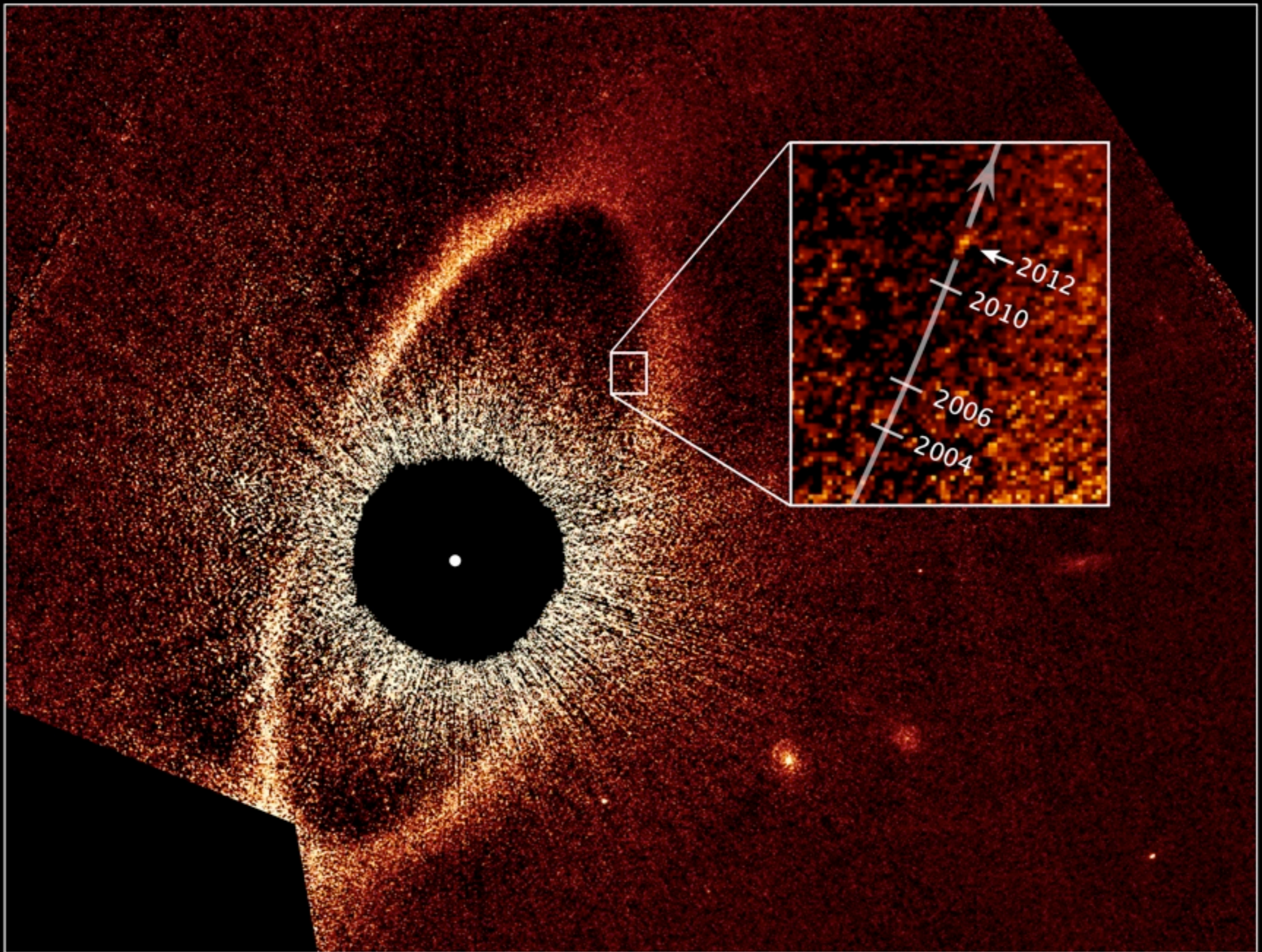
# TESS



**Transiting  
Exoplanet  
Survey  
Satellite**

NASA Mission  
Launch: 18. April 2018  
(Falcon 9/Space X)  
noch aktiv

ca. 300 bestätigte  
Exoplaneten  
6000 Kandidaten



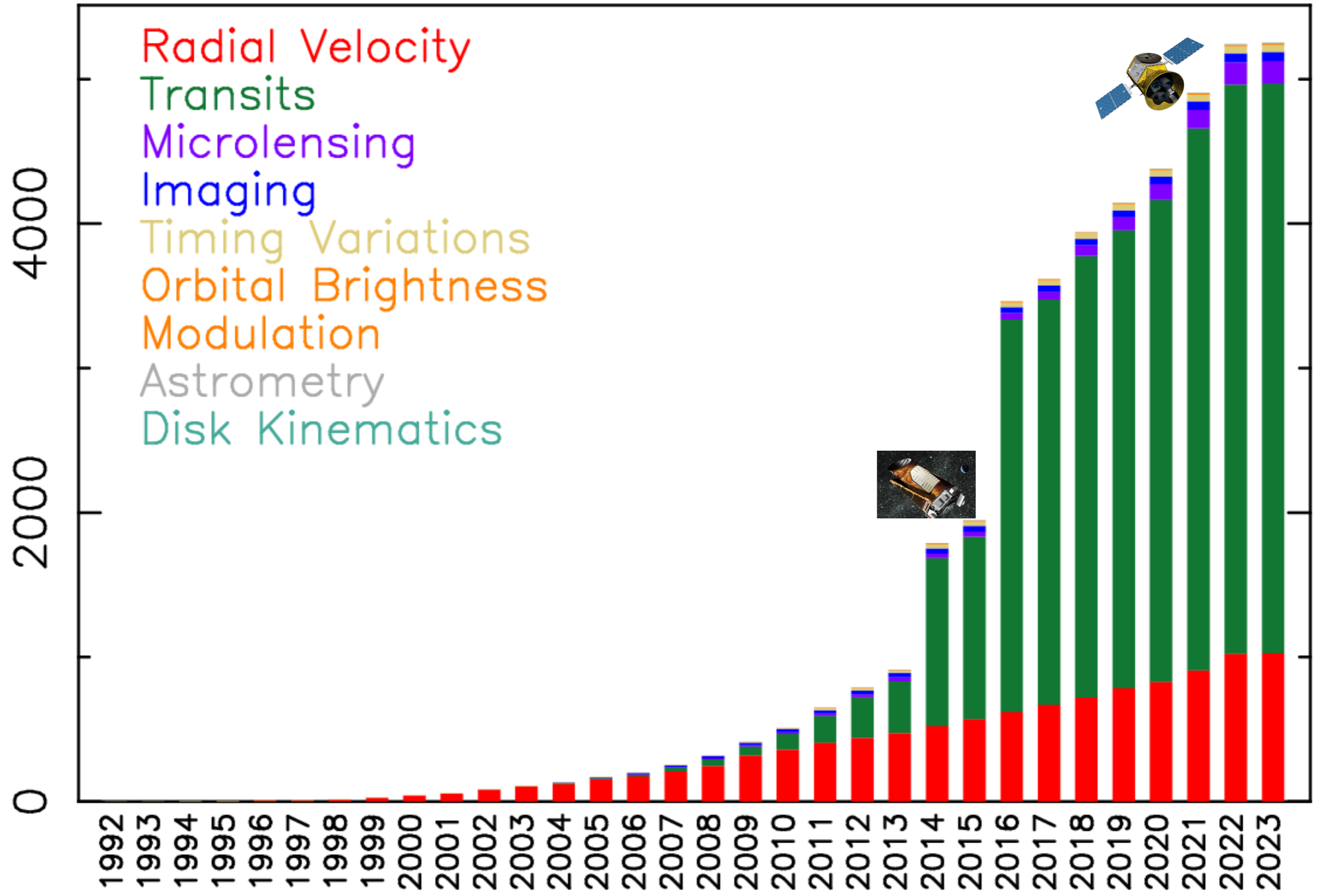
**Fomalhaut System**  
*Hubble Space Telescope • STIS*

# Cumulative Detections Per Year

09 Feb 2023

[exoplanetarchive.ipac.caltech.edu](http://exoplanetarchive.ipac.caltech.edu)

Cumulative Number of Detections



Discovery Year

# Entstehung von Planetensystemen





# Sternentstehung

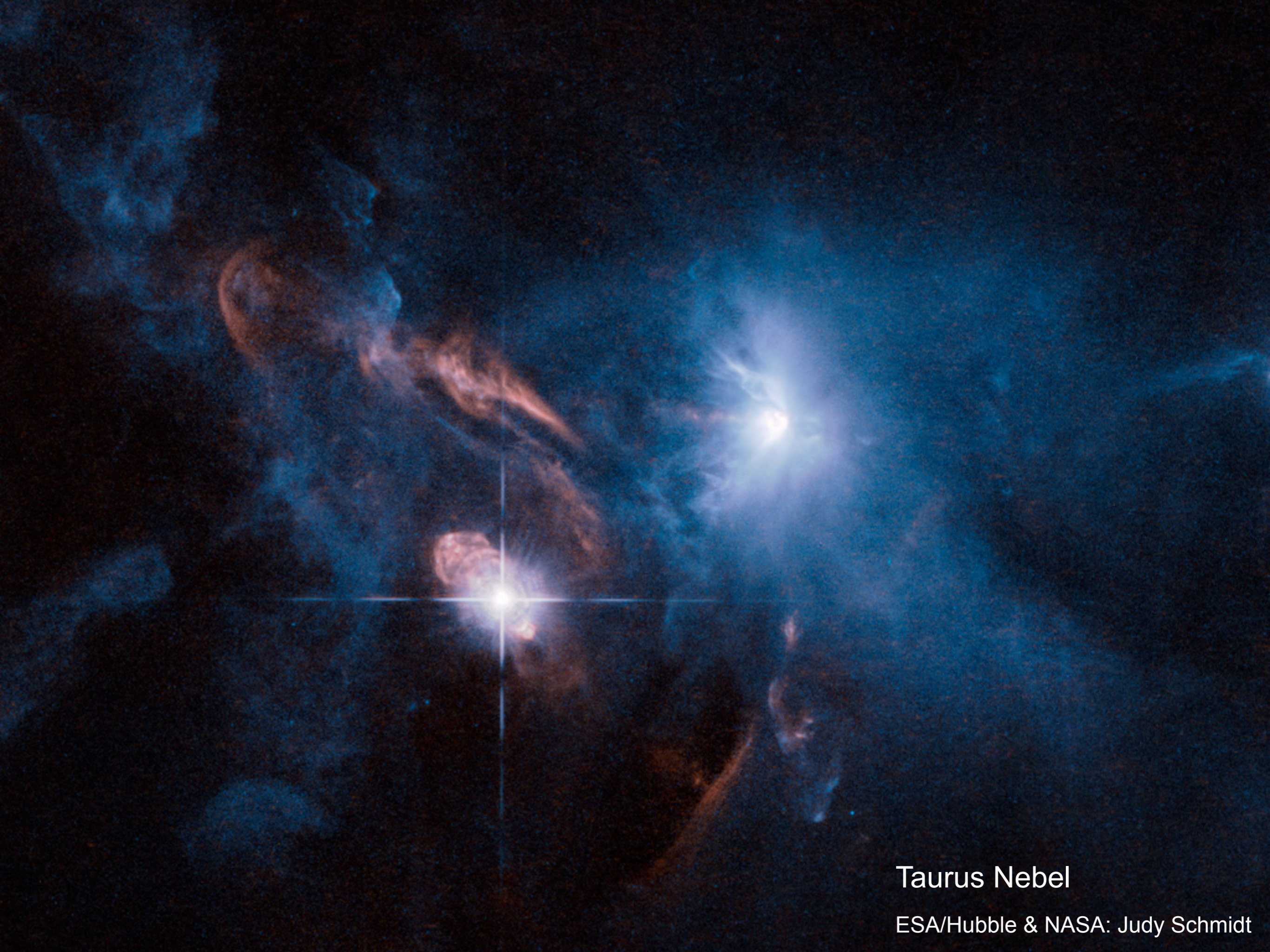


M i l k y W a y G a l a x y

- Typische Galaxie:  $\sim 100$  Milliarden Sterne
- Insterstellare Medium (ISM): atomares Gas, ionisiert, neutral,  $T \sim$  tausend - Million Grad
- Dunkelwolken:  $H$ ,  $H_2$  (99% der Masse),  $CO$ , Staub (1%)
- Sternentstehungsrate heute: 3-5 Sterne/Jahr



Edward Barnard: Entdeckung von Dunkelwolken



Taurus Nebel

ESA/Hubble & NASA: Judy Schmidt

**Orion Nebel: Deep field, by Robert Gendler**





Elephantenrüssel Nebel - IC 1396A



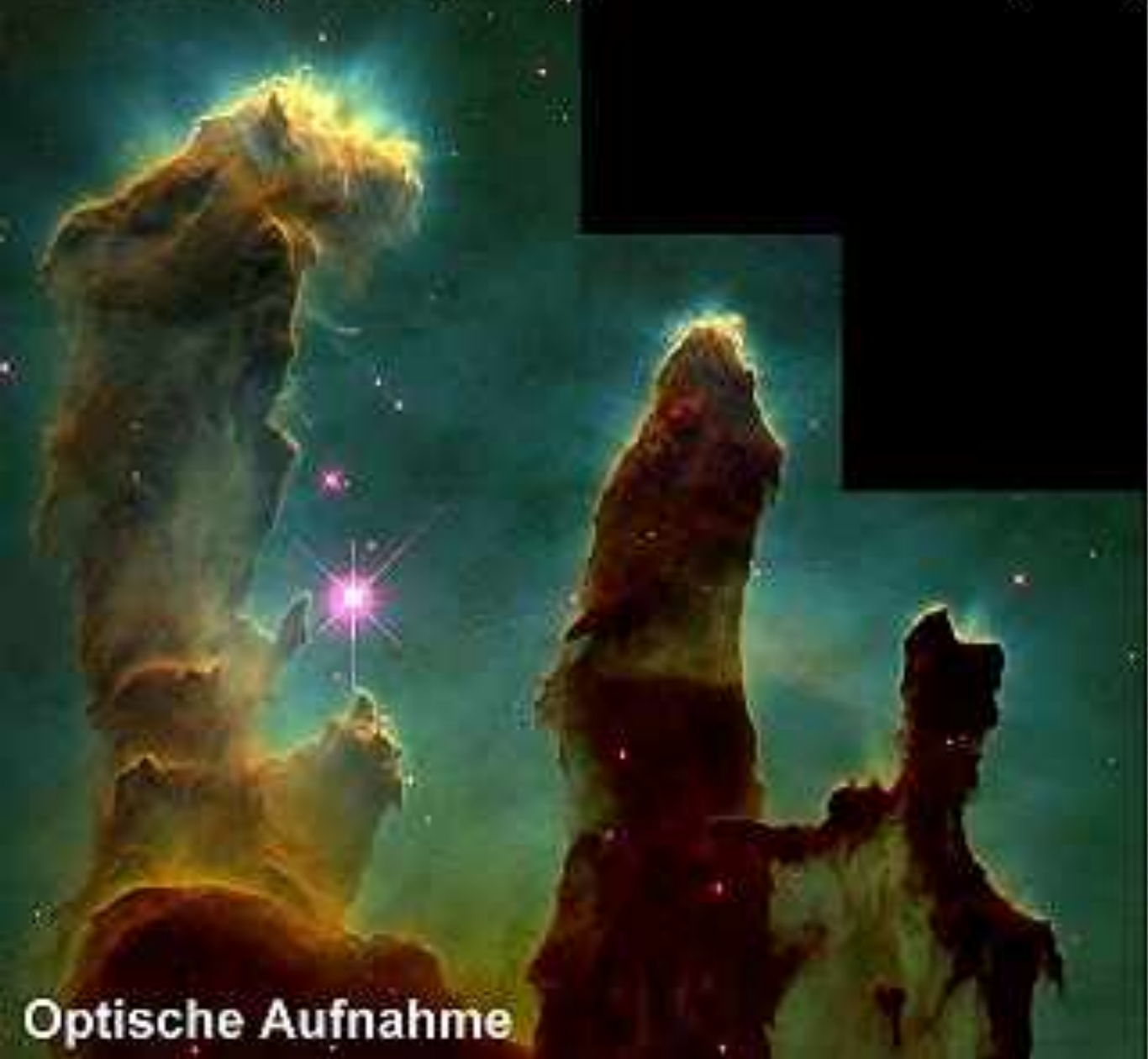
“Mystic Mountain” in Carina Nebula, *HST*, NASA, ESA

Hubble Teleskop: "Säulen der Schöpfung" im Adlernebel



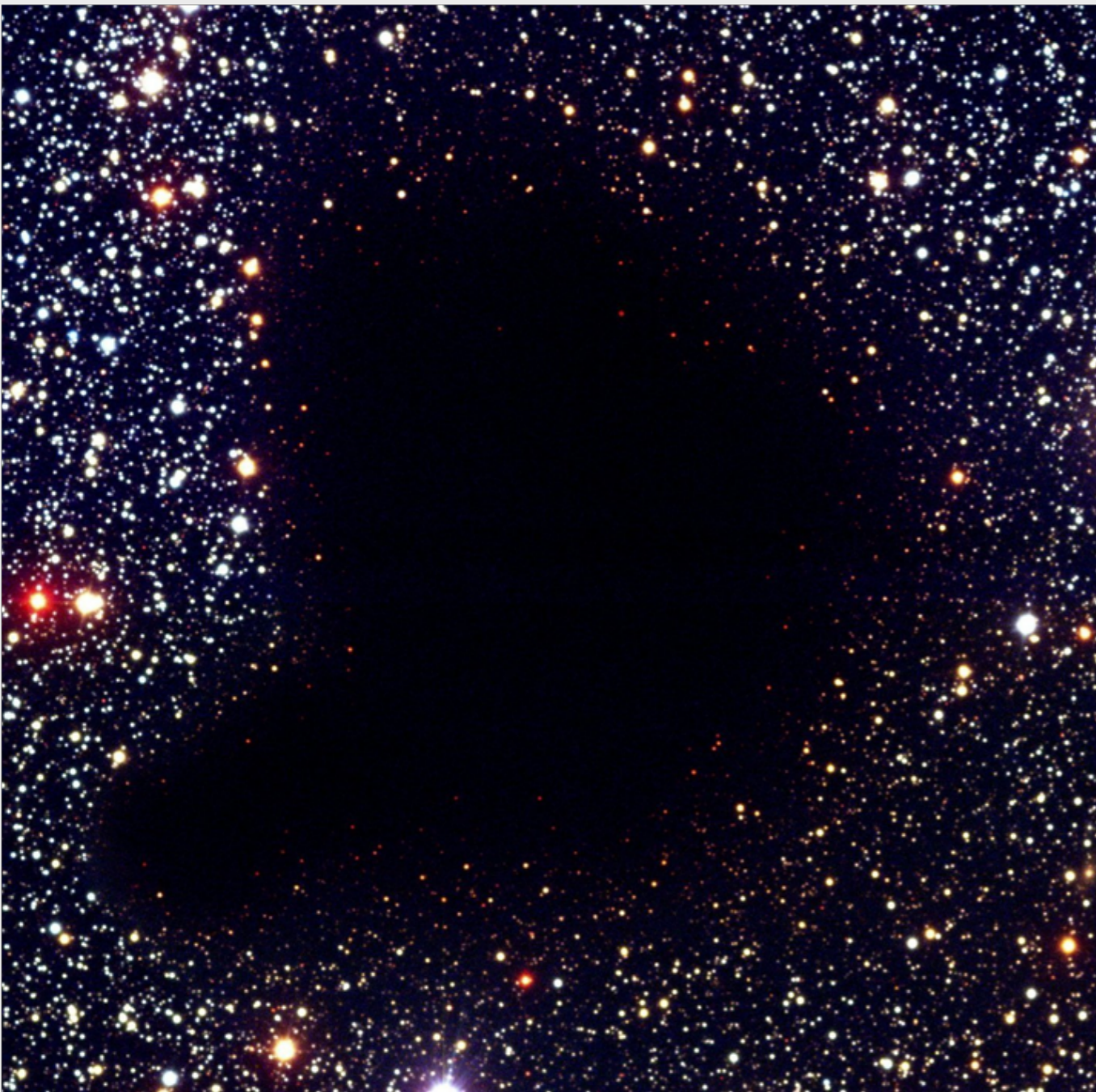
# kosmischer Staub

"Säulen der Schöpfung" im Adler-Nebel (M16)

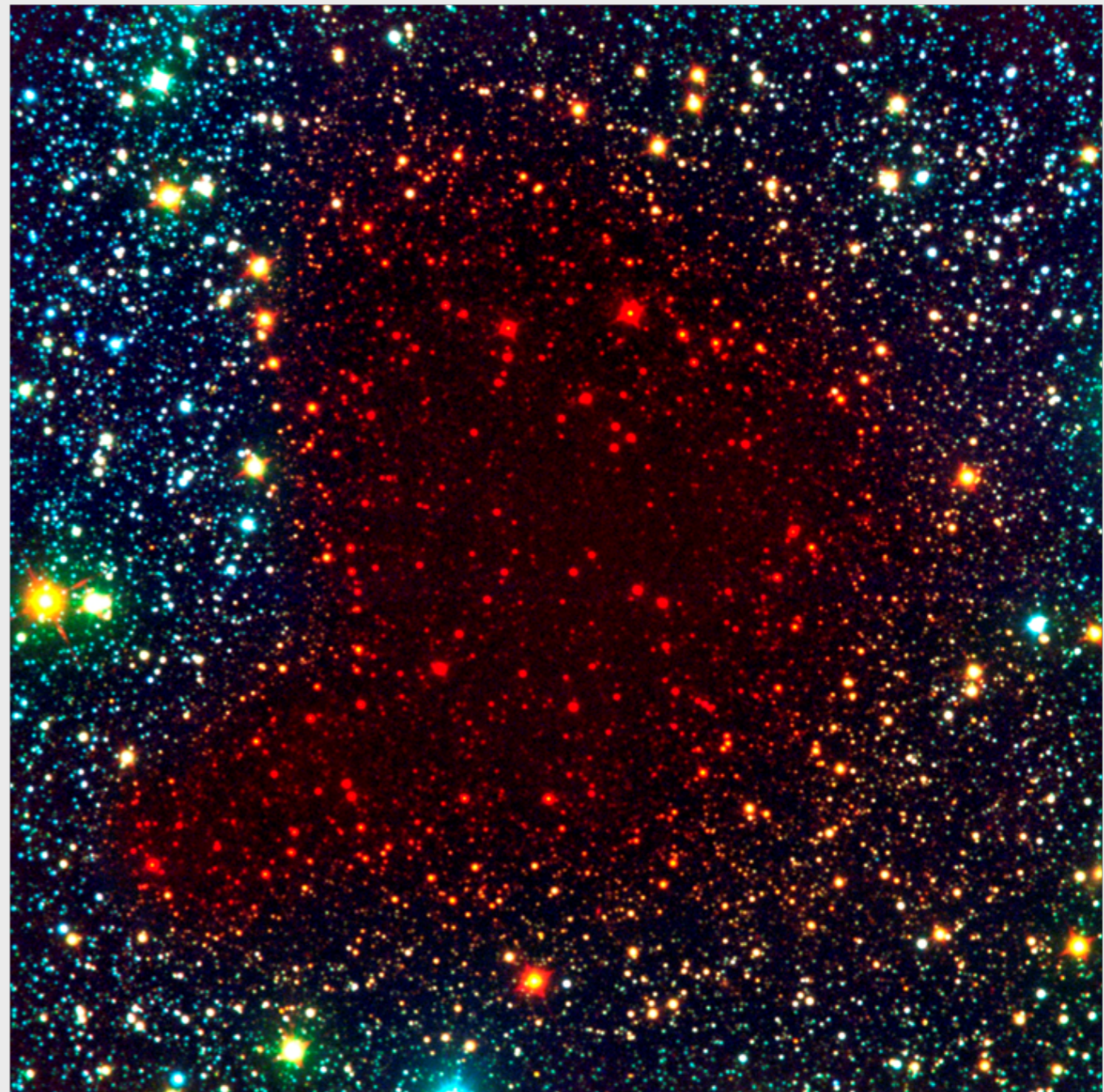




# kosmischer Staub

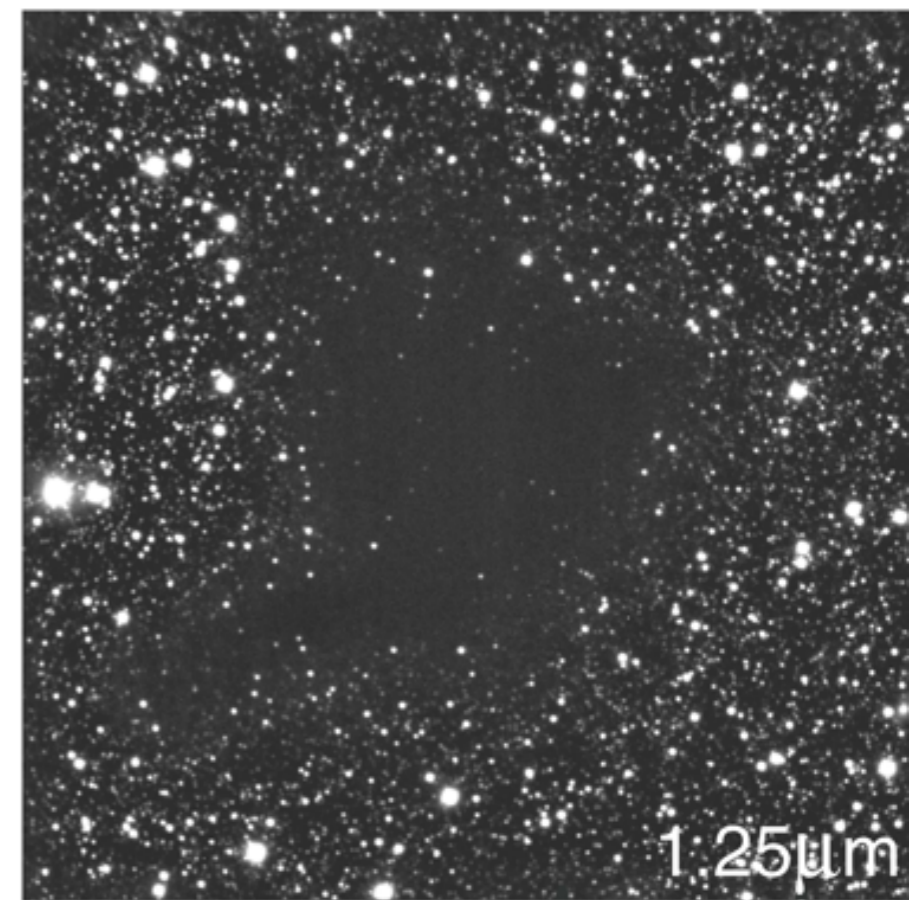
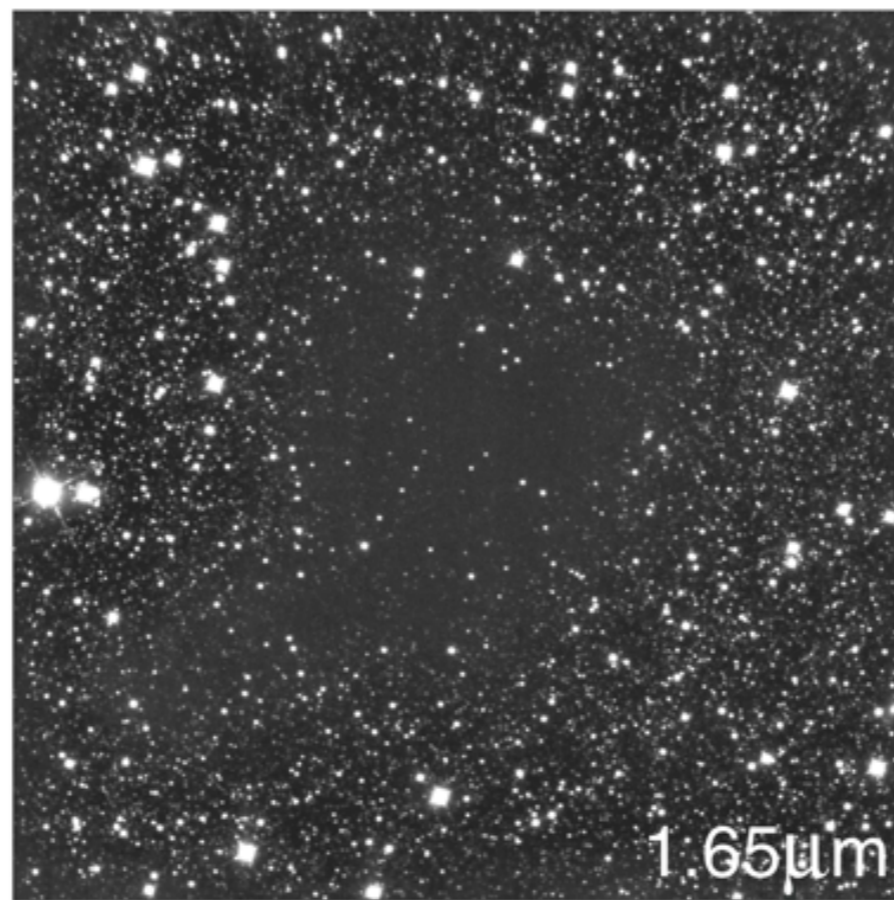
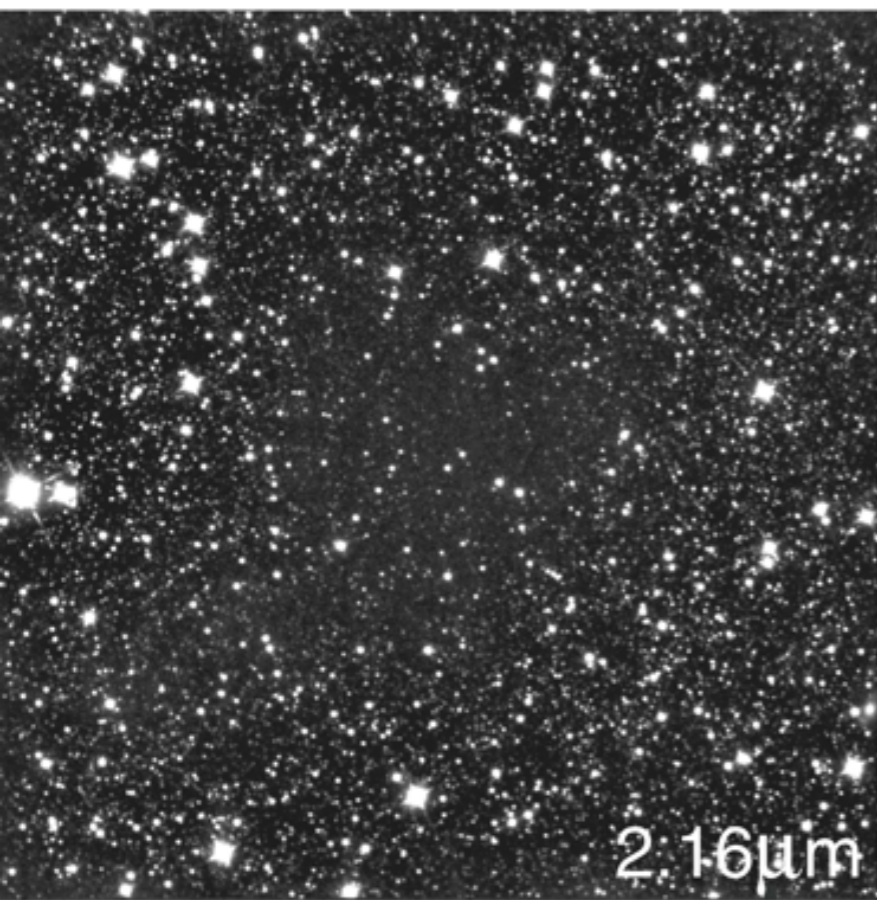
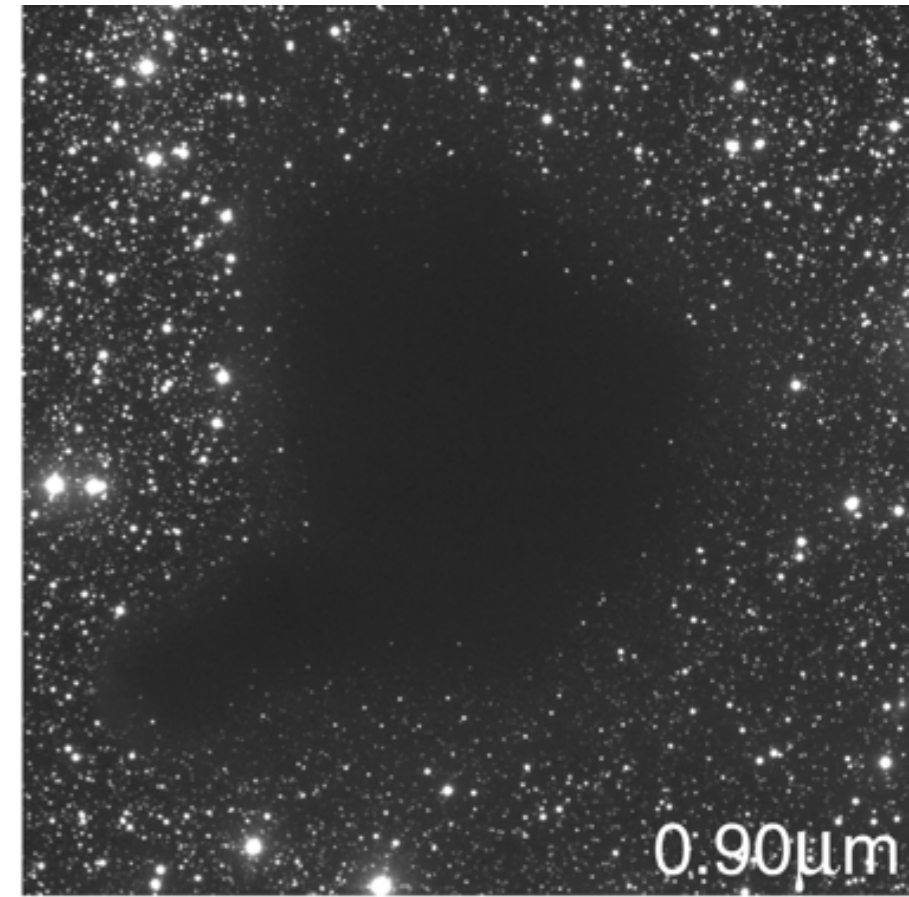
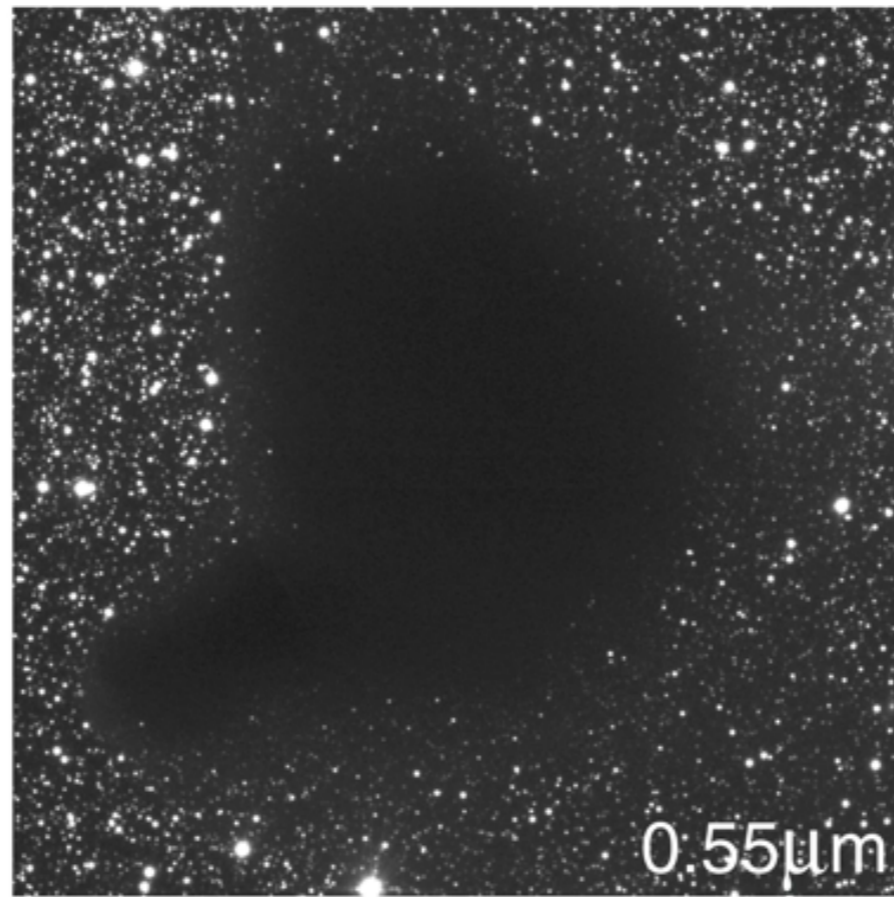
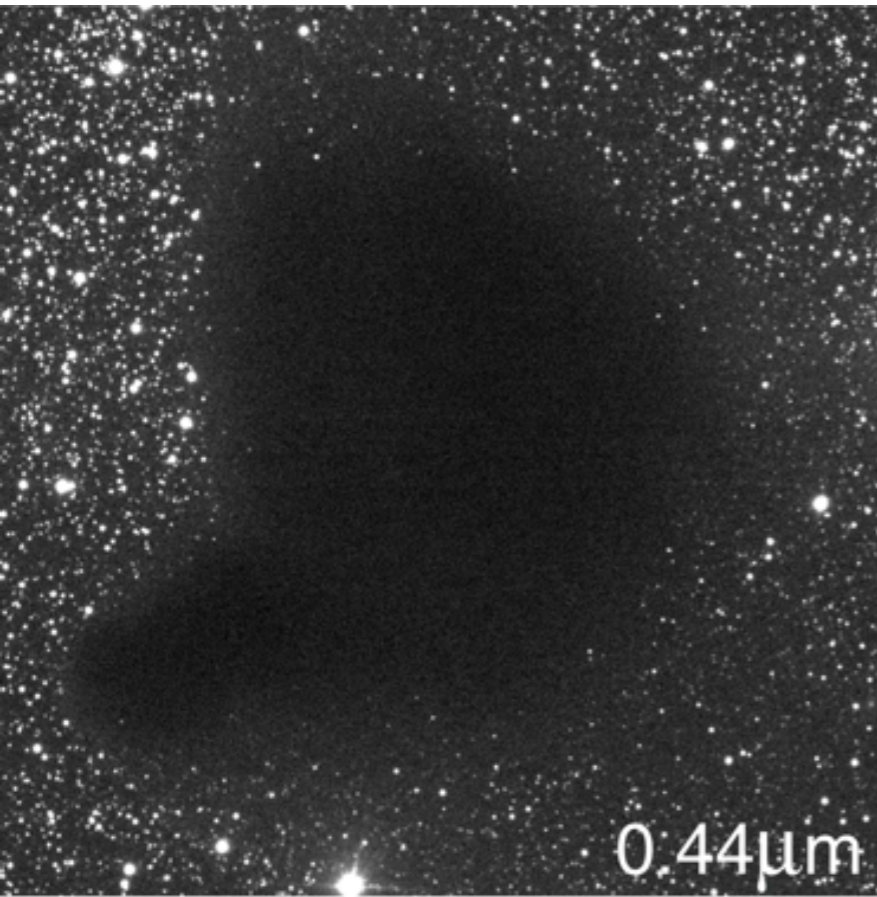


optisch

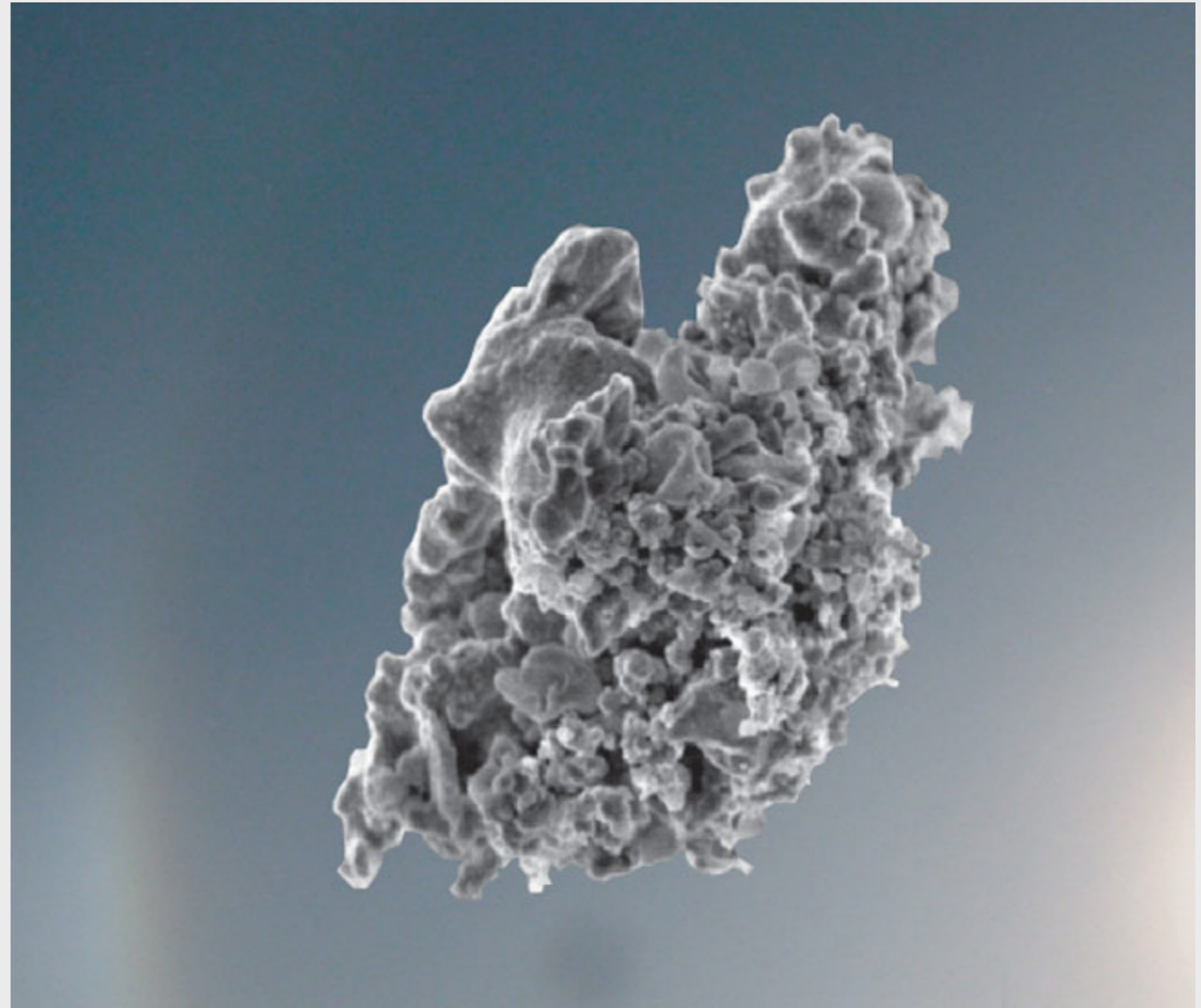
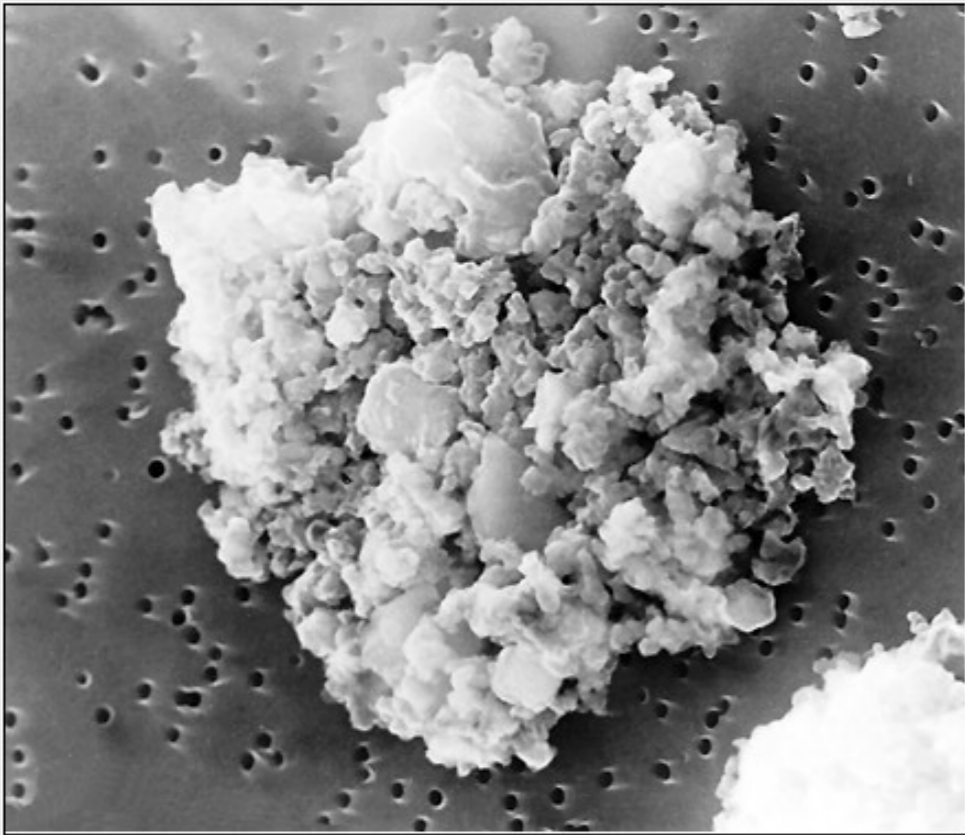


infrarot

# kosmischer Staub

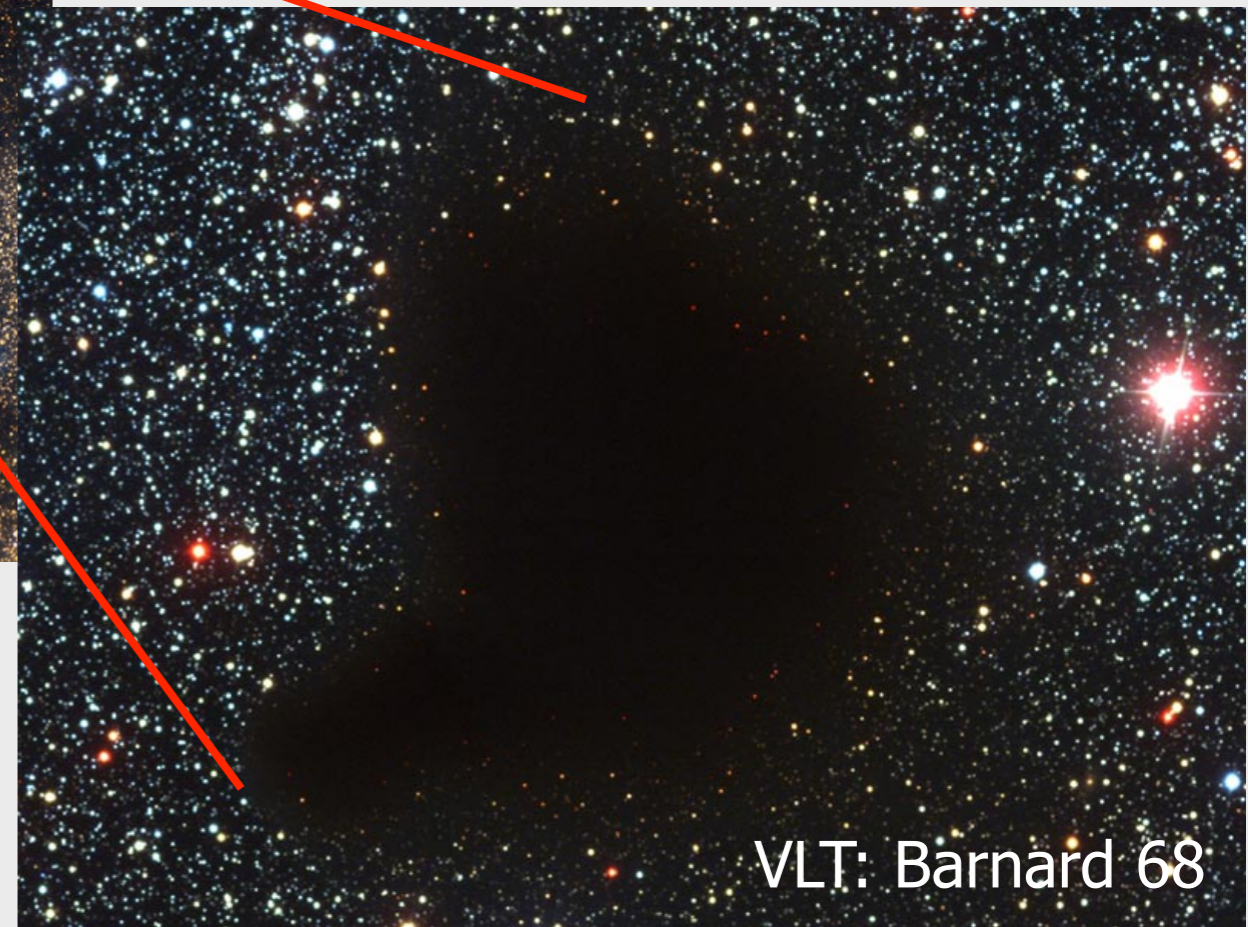
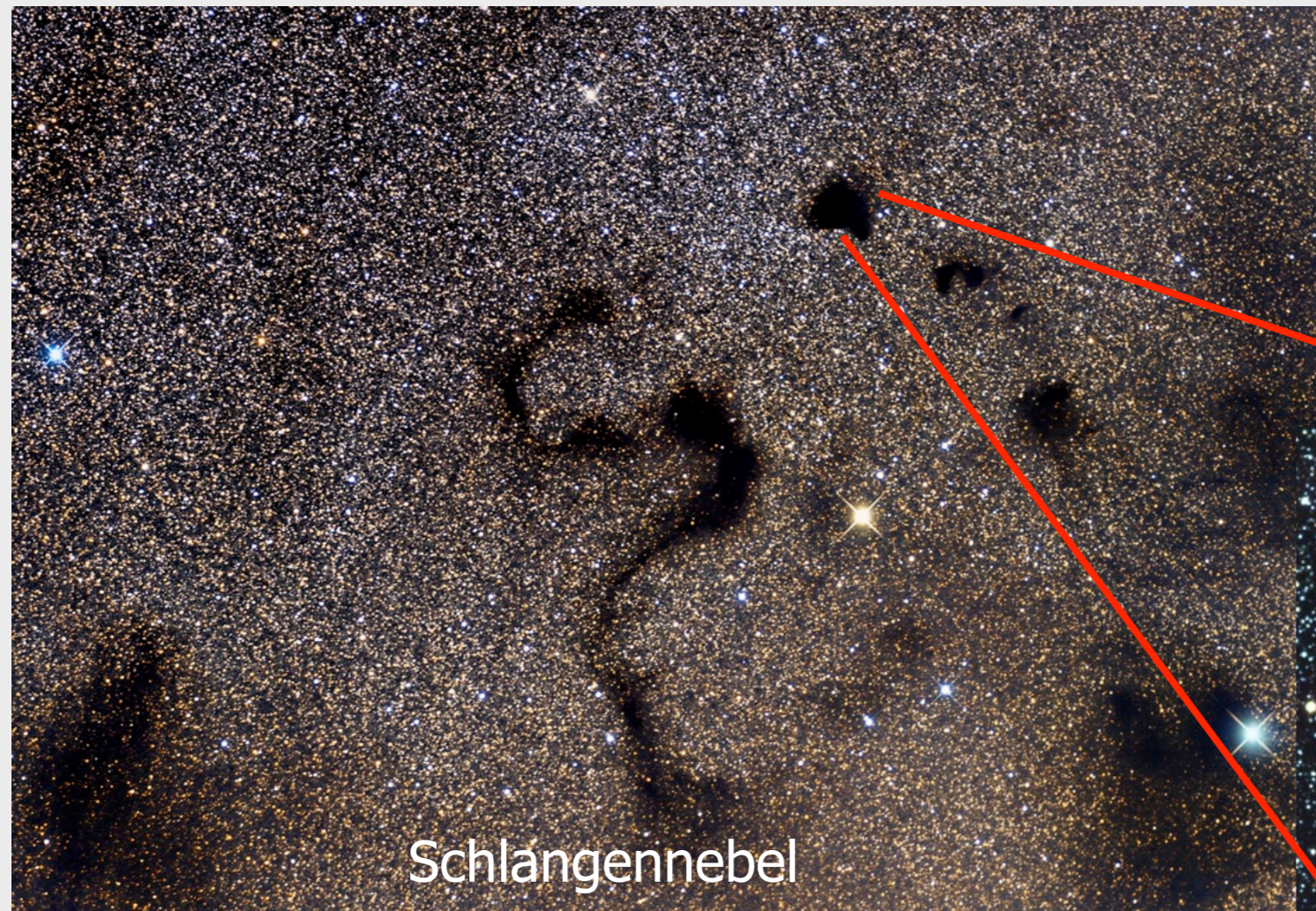


# kosmischer Staub



- Zusammensetzung: Silikate, Graphit, Eis, ...
- Größe: 0.1 – 10  $\mu\text{m}$

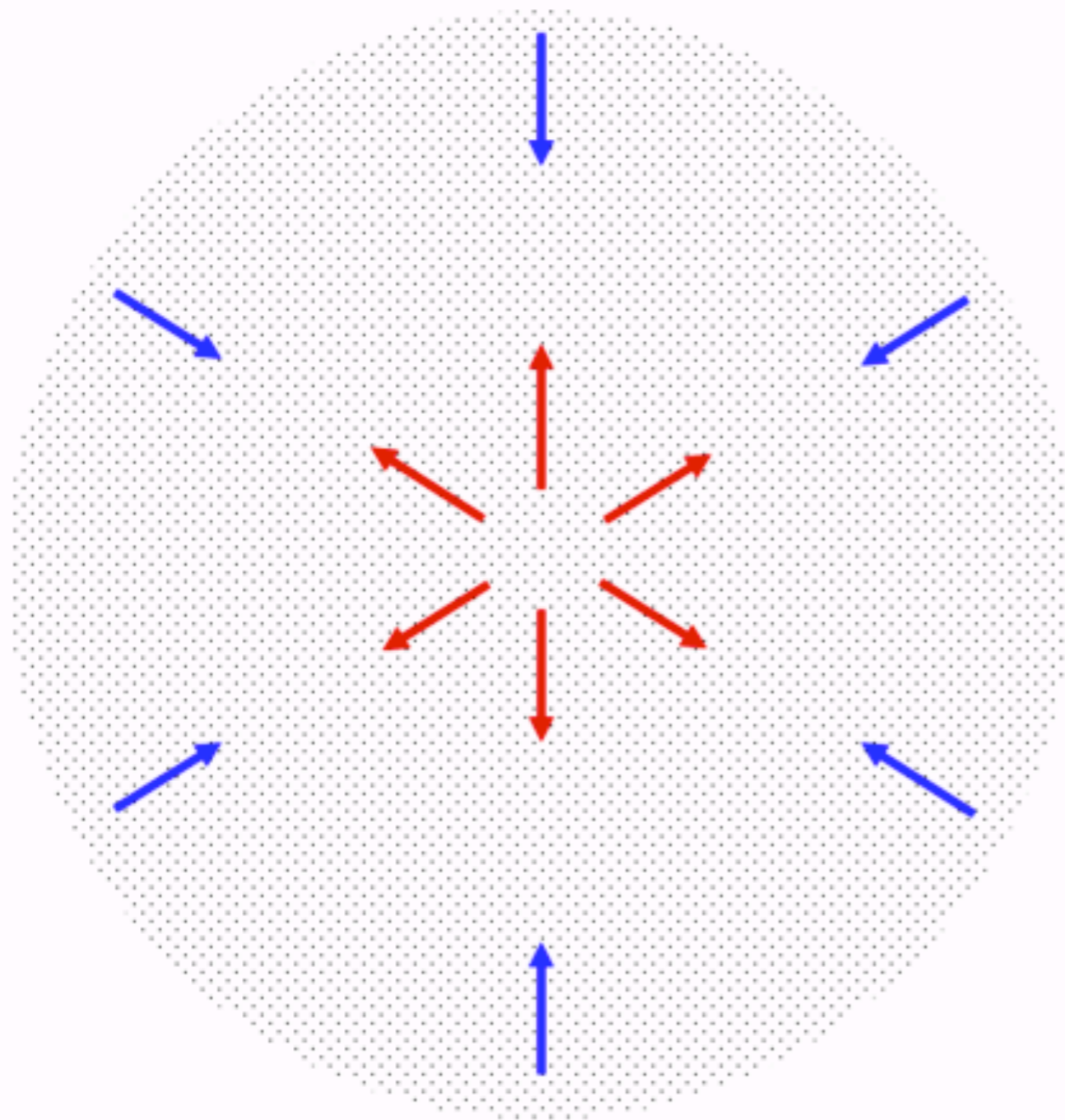
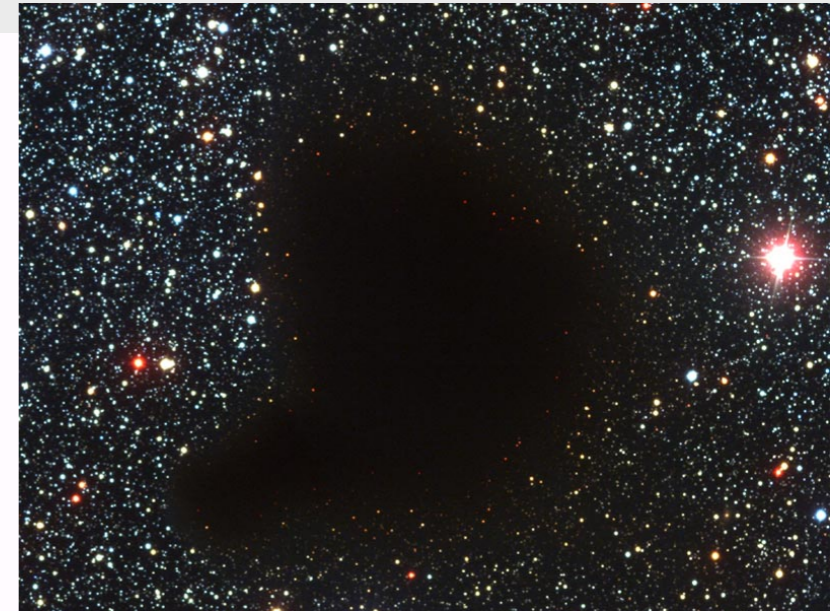
# Sternentstehung



## Bok Globule

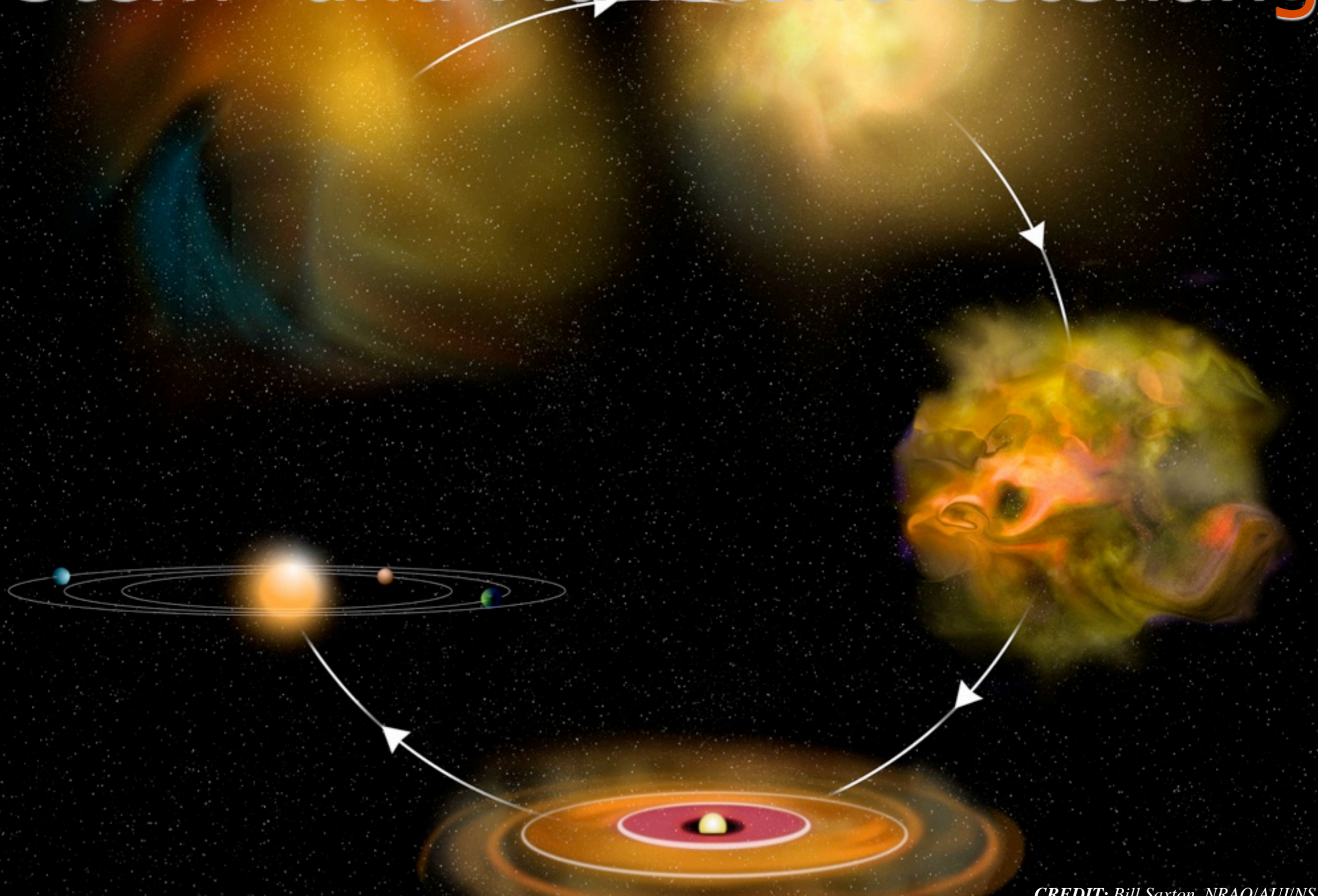
- Gasmasse: einige  $M_{\text{sol}}$
- sehr **kalt**:  $T = 10 \text{ K}$
- $D \sim 10.000 \text{ AE}$

# Gravitations-Instabilität



- ↓ Gravitationsdruck
- ↑ Druck durch Teilchenbewegung (Thermischer Druck)

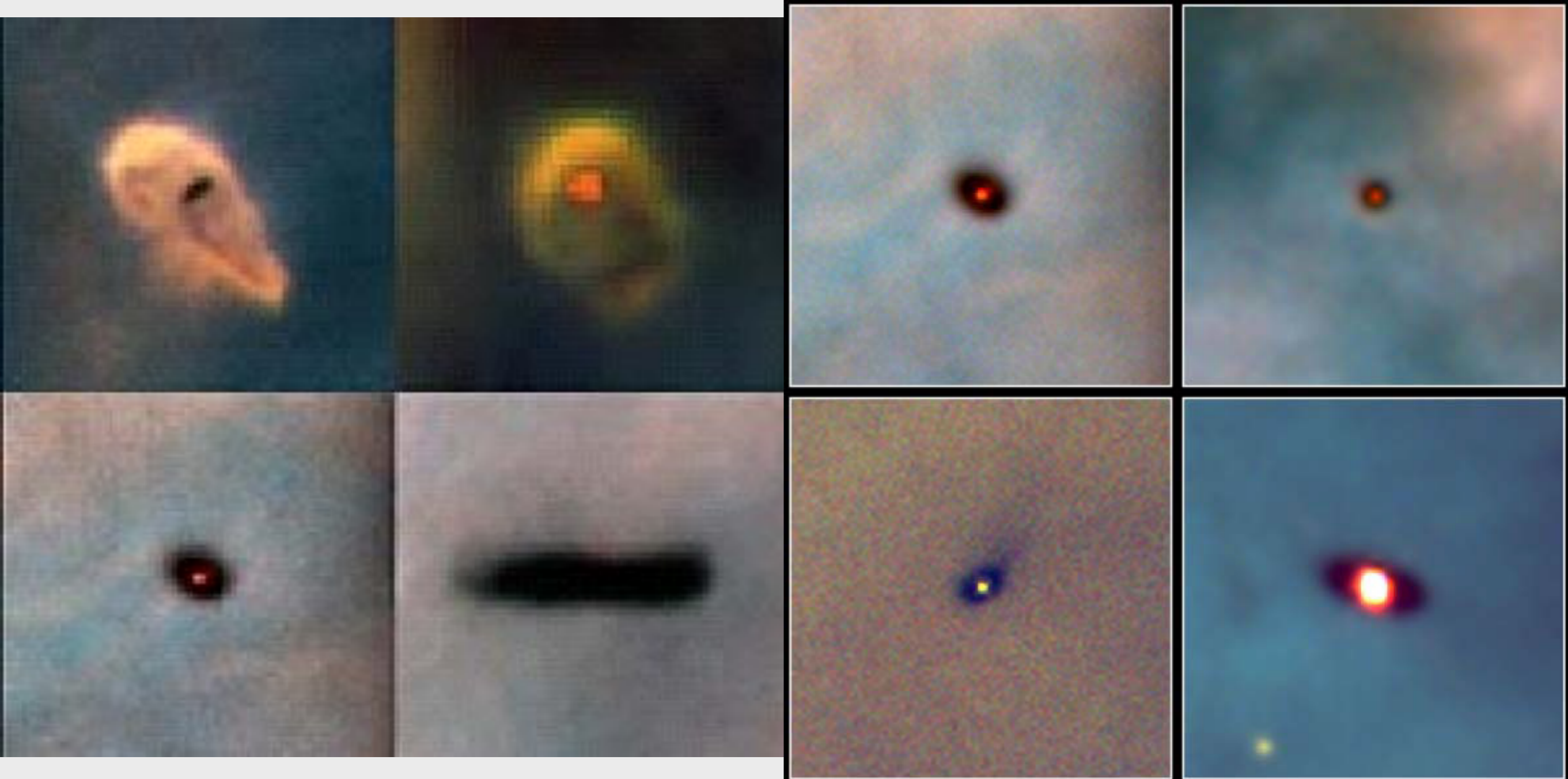
# Stern- und Planetenentstehung



# Proplyds: Protoplanetare Scheiben



# Protoplanetare Scheiben



**Protoplanetary Disks  
Orion Nebula**

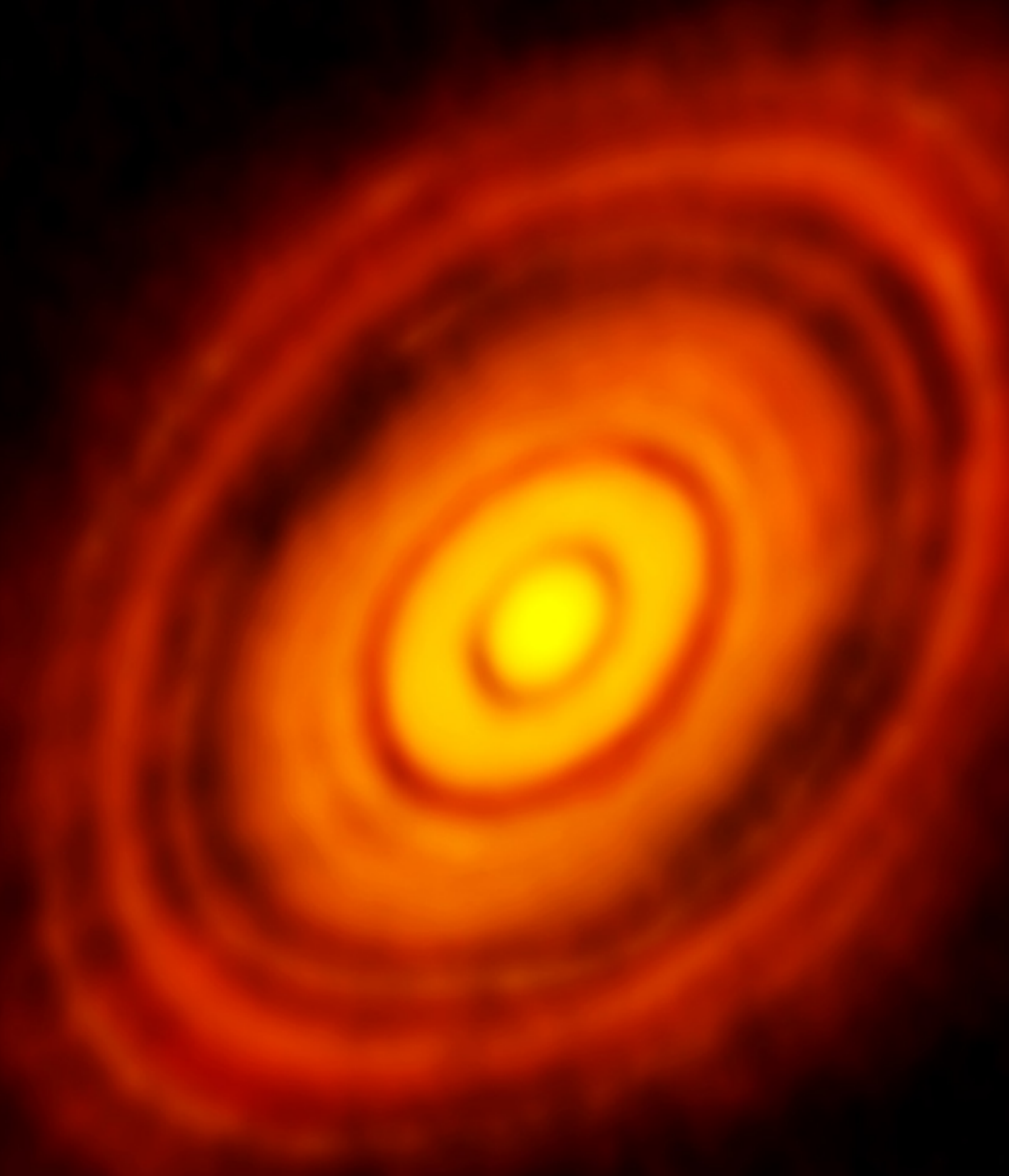
HST · WFPC2

PRC95-45b · ST ScI OPO · November 20, 1995

M. J. McCaughrean (MPIA), C. R. O'Dell (Rice University), NASA

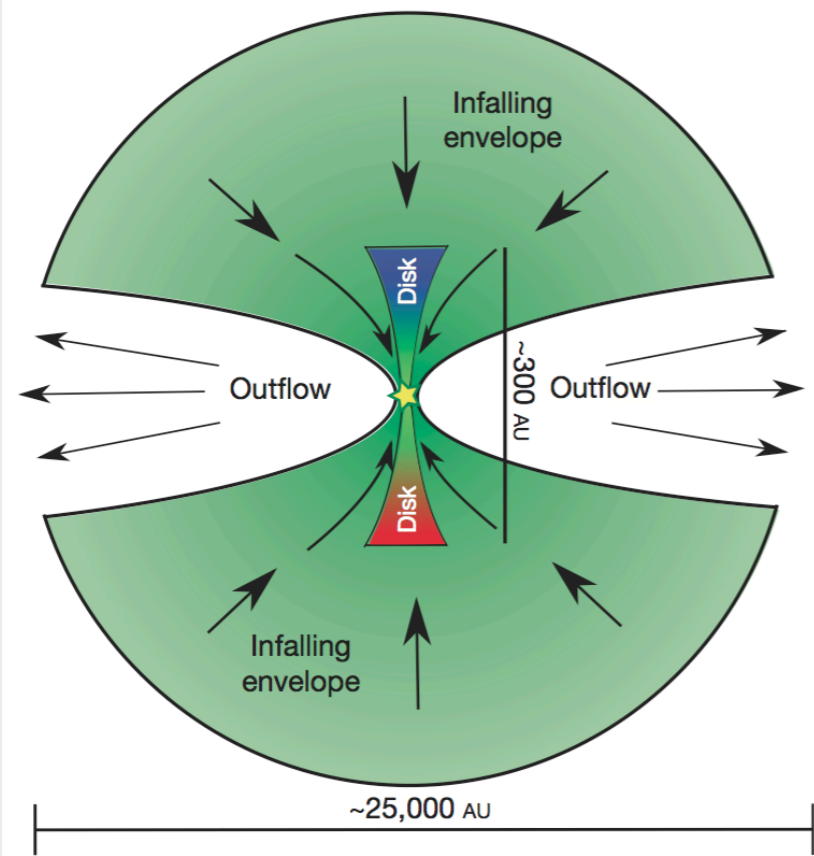
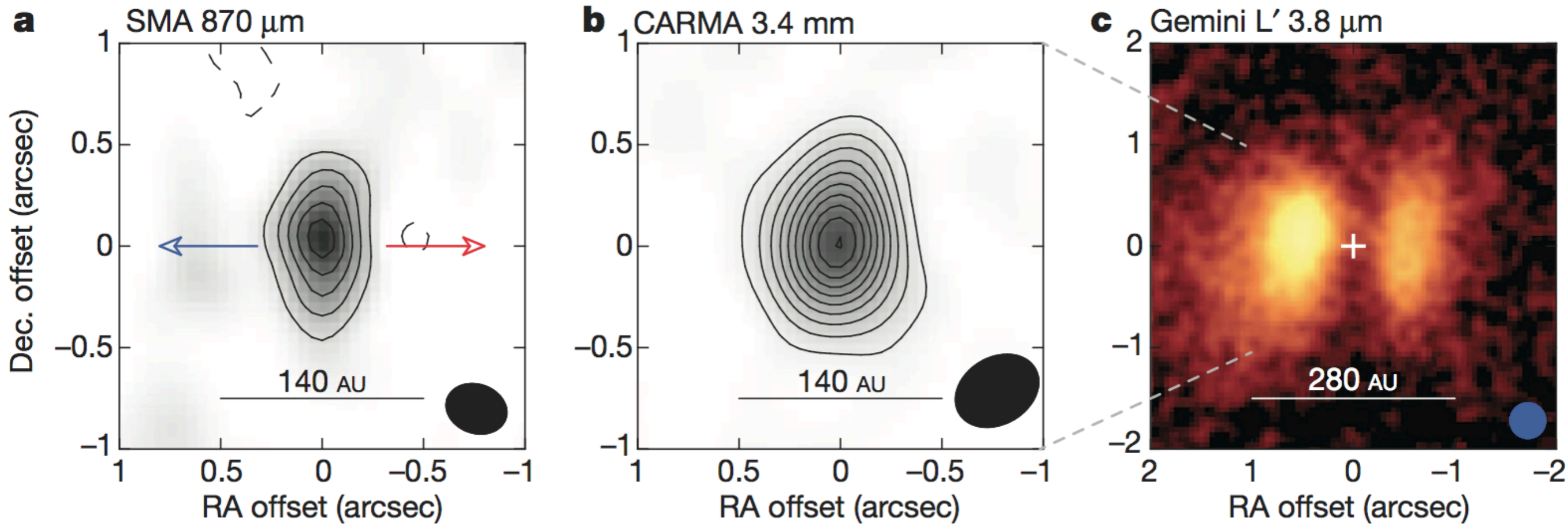






HL Tau: ALMA (ESO/NRAO/NAOJ)

# Protoplanetare Scheiben



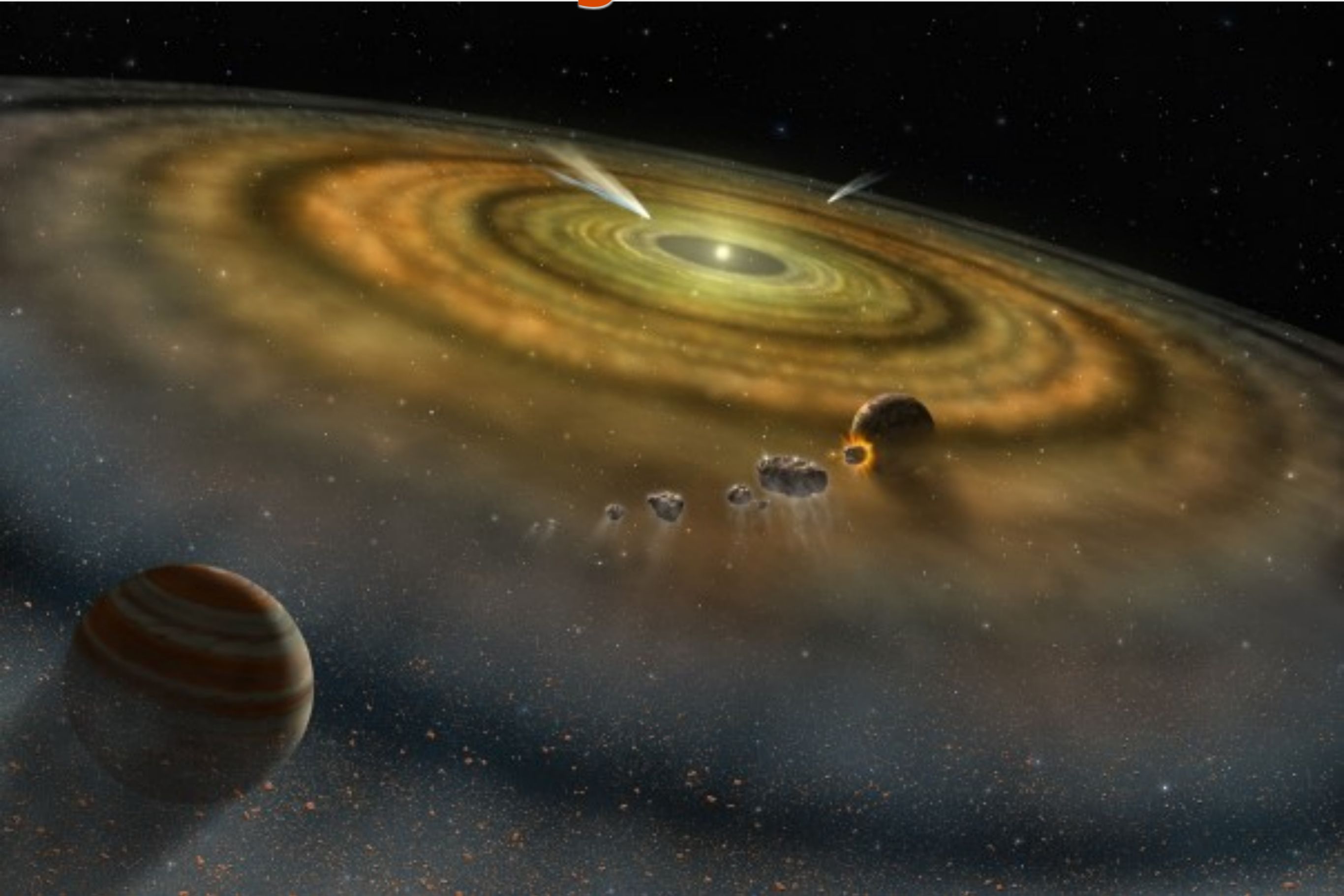
Tobin et al., Nature 2012

**L1527 IRS:**

*Alter* < 300.000 Jahre

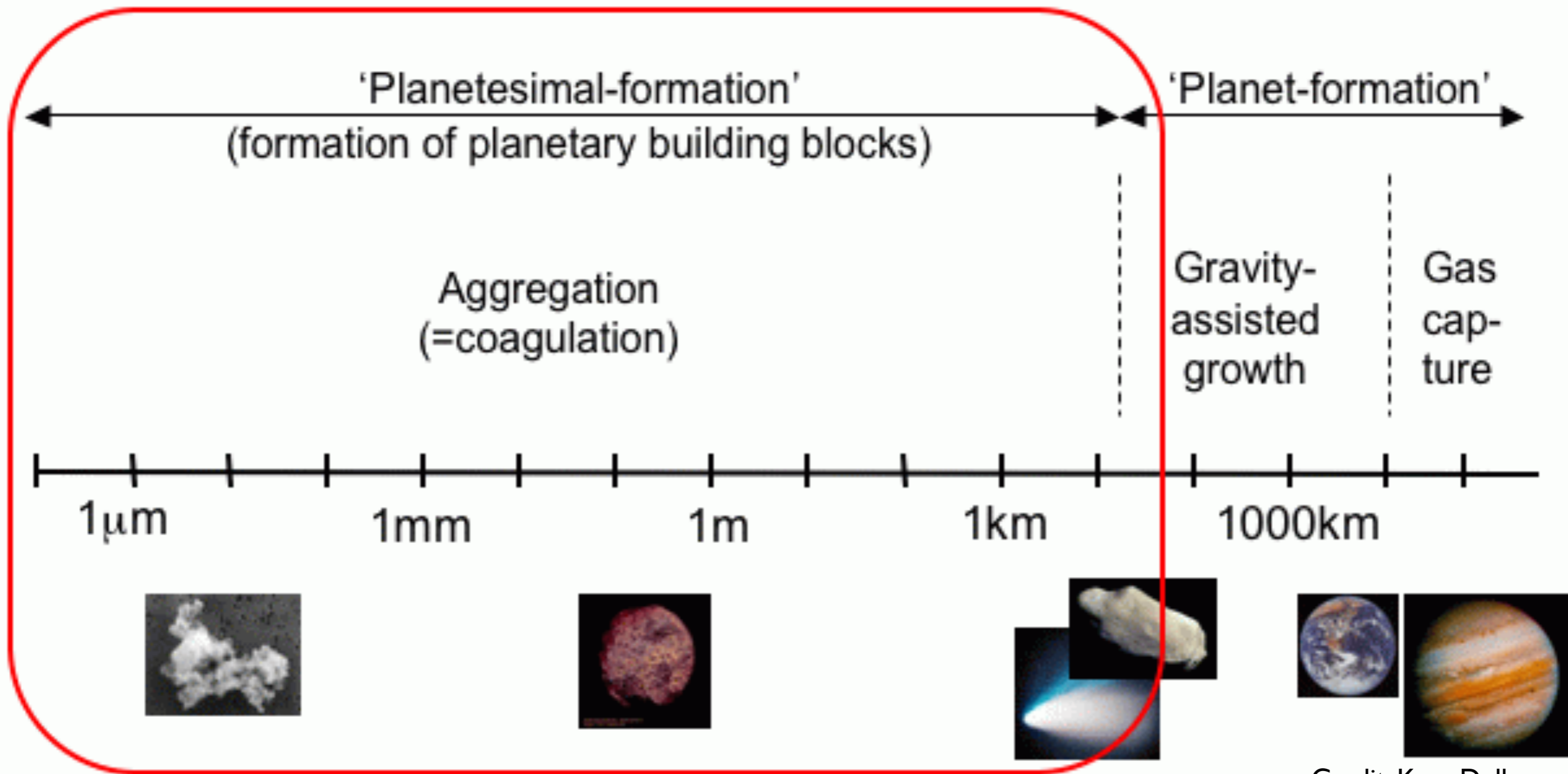
*Masse*  $\sim 0.2 M_{\odot}$

# Entstehung von Planeten



# Entstehung von Planeten

## Vom Staub zu Planeten



Credit: Kees Dullemon

⇒ "Wachstum": vom Staub zum Planeten: 12 Größenordnungen

# Staubwachstum

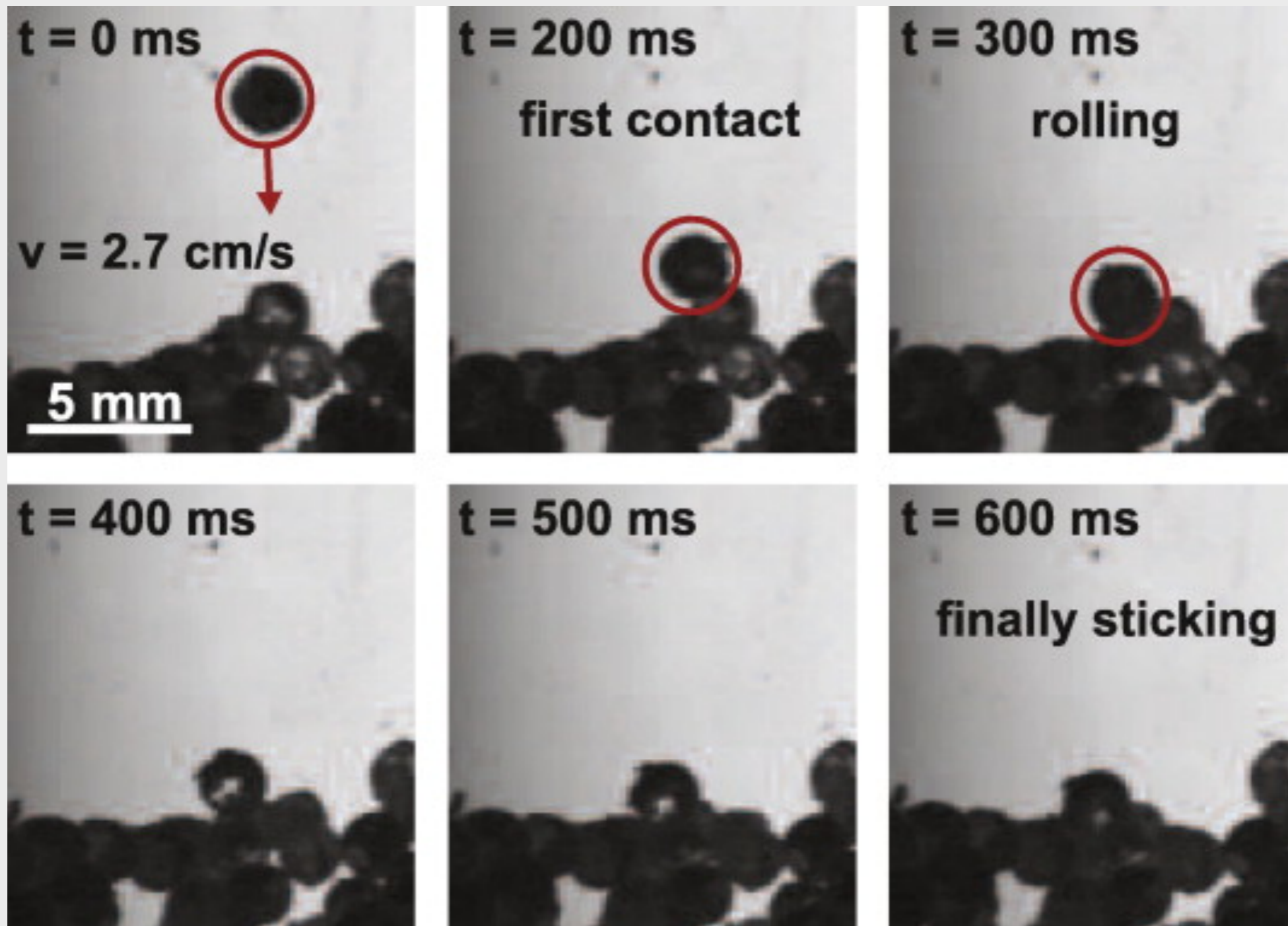
- Laborexperimente



Blum J, Wurm G. 2008.

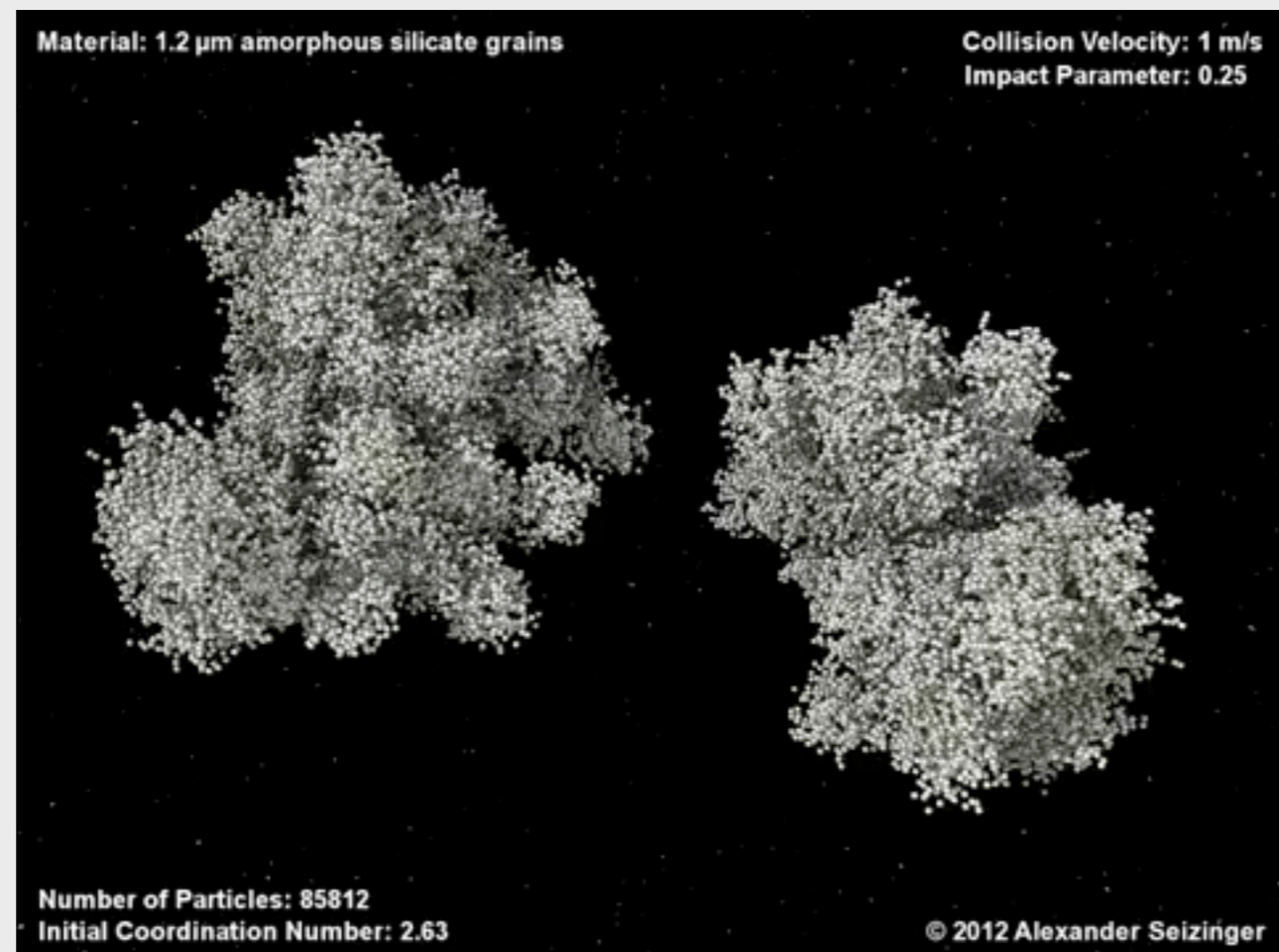
# Staubwachstum

- Laborexperimente



# Staubwachstum

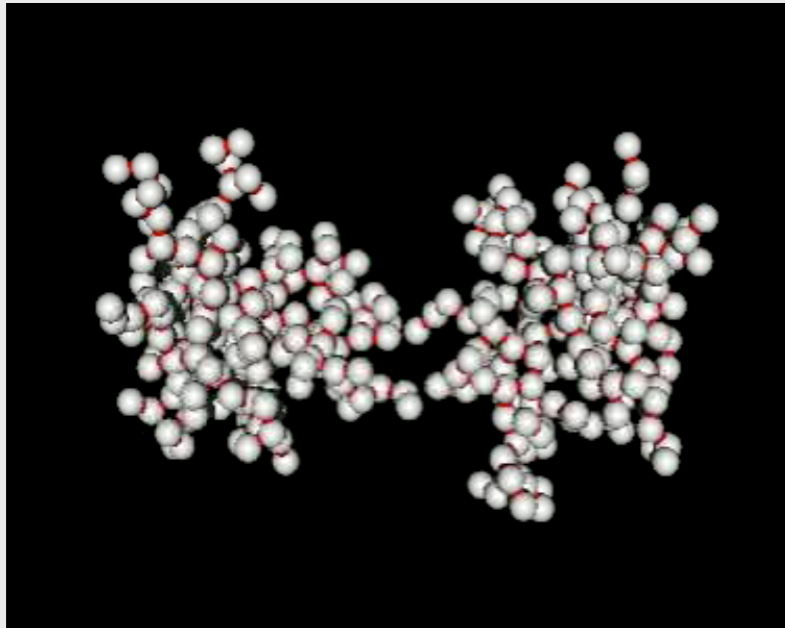
- Computersimulationen



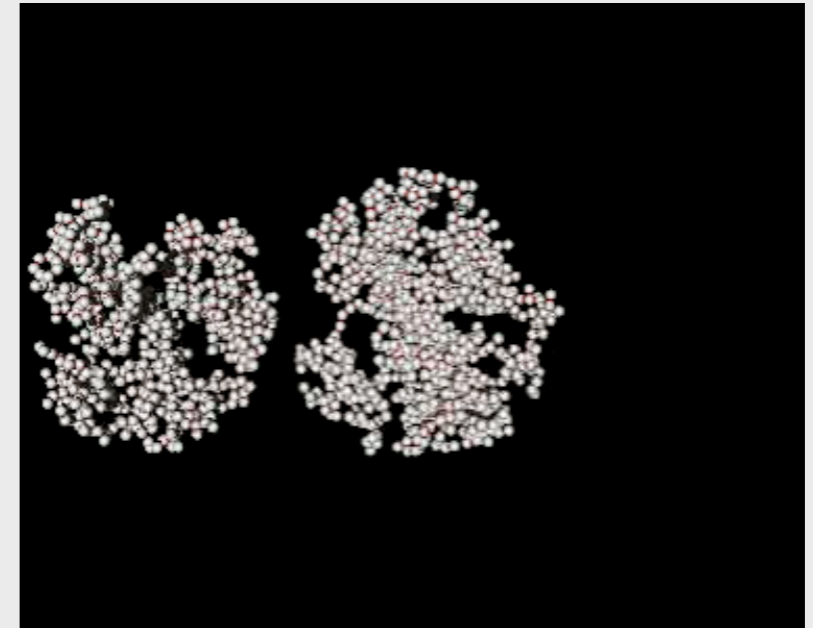


# Staubwachstum

- Computersimulationen: *Paszun & Dominik 2009*

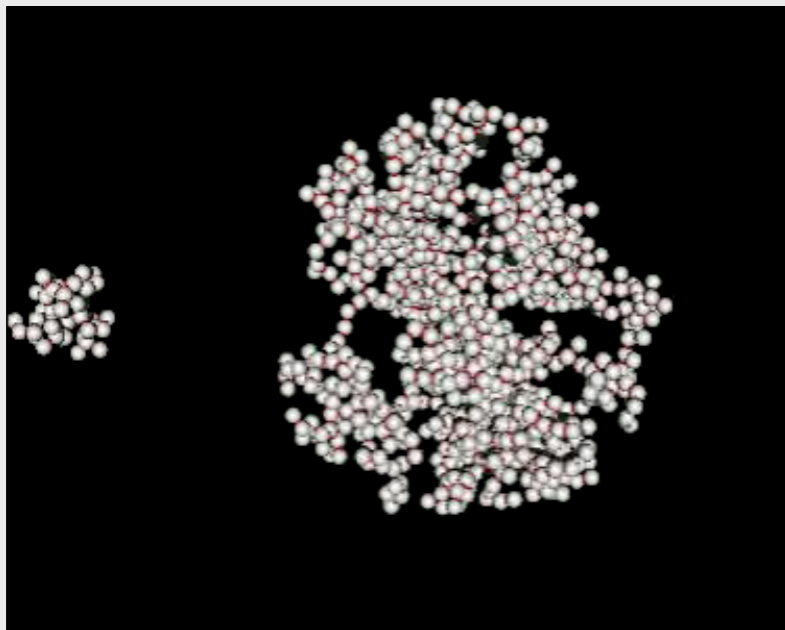


$v_{\text{imp}} = 0.75 \text{ m/sec}$

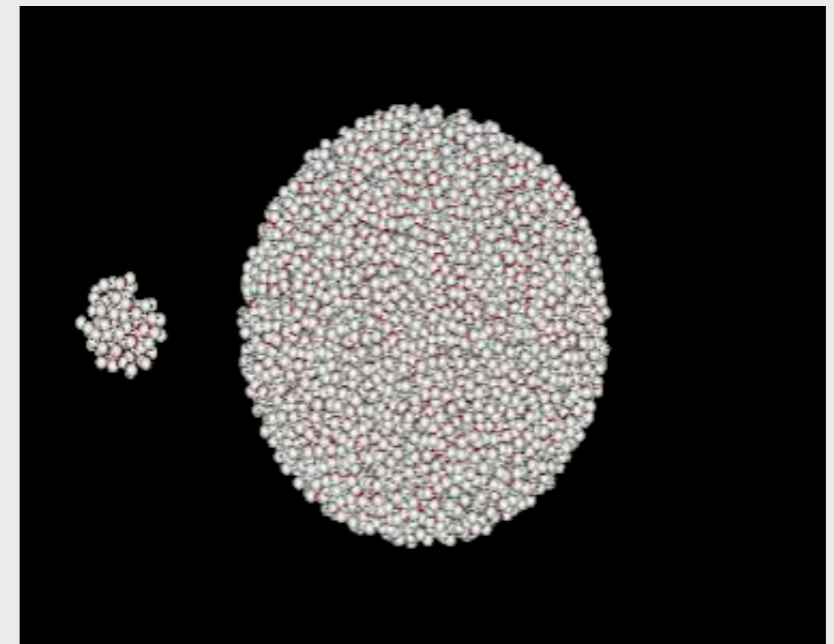


$v_{\text{imp}} = 2 \text{ m/sec}$

Teilchen:  $\text{SiO}_2$   
Monomers  
 $D = 1.2 \mu\text{m}$

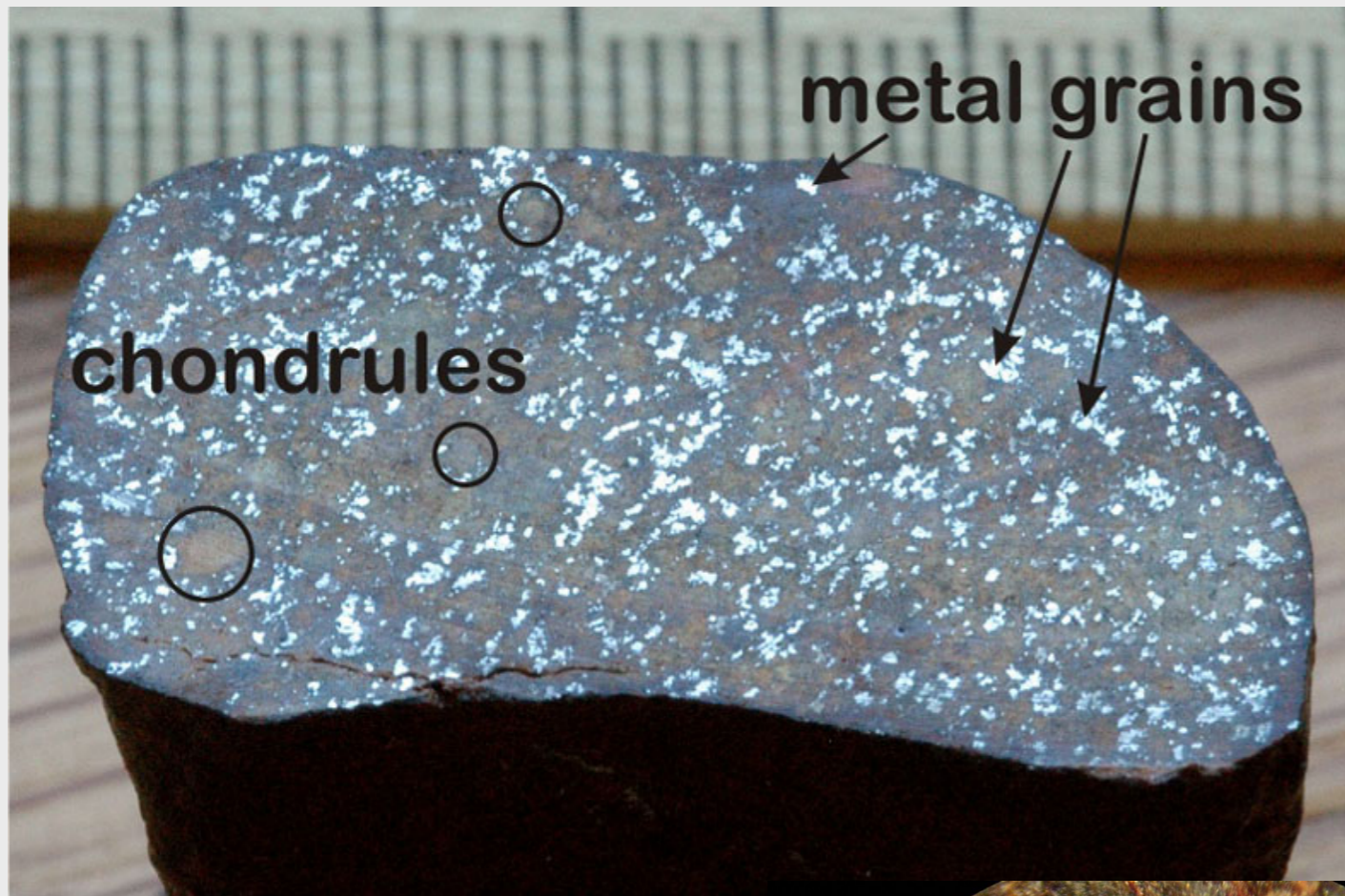


$v_{\text{imp}} = 2 \text{ m/sec}$



$v_{\text{imp}} = 25 \text{ m/sec}$

# Staubwachstum



Chondren in  
Meteoriten



# Planetesimale



253 Mathilde -  $66 \times 48 \times 44$  km  
NEAR, 1997



243 Ida -  $58.8 \times 25.4 \times 18.6$  km  
Galileo, 1993



951 Gaspra  
 $18.2 \times 10.5 \times 8.9$  km  
Galileo, 1991



433 Eros -  $33 \times 13$  km  
NEAR, 2000



5535 Annefrank  
 $6.6 \times 5.0 \times 3.4$  km  
Stardust, 2002



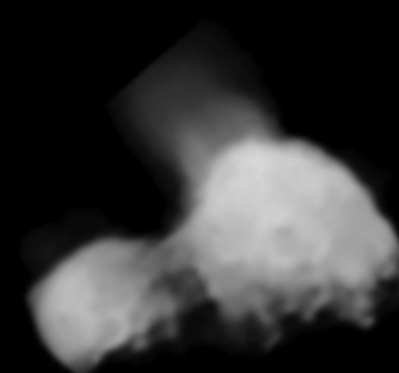
2867 Steins  
 $5.9 \times 4.0$  km  
Rosetta, 2008



Dactyl  
[(243) Ida I]  
 $1.6 \times 1.2$  km  
Galileo, 1993

25143 Itokawa  
 $0.5 \times 0.3 \times 0.2$  km  
Hayabusa, 2005

9969 Braille  
 $2.1 \times 1 \times 1$  km  
Deep Space 1, 1999



1P/Halley -  $16 \times 8 \times 8$  km  
Vega 2, 1986



9P/Tempel 1  
 $7.6 \times 4.9$  km  
Deep Impact, 2005



19P/Borrelly  
 $8 \times 4$  km  
Deep Space 1, 2001

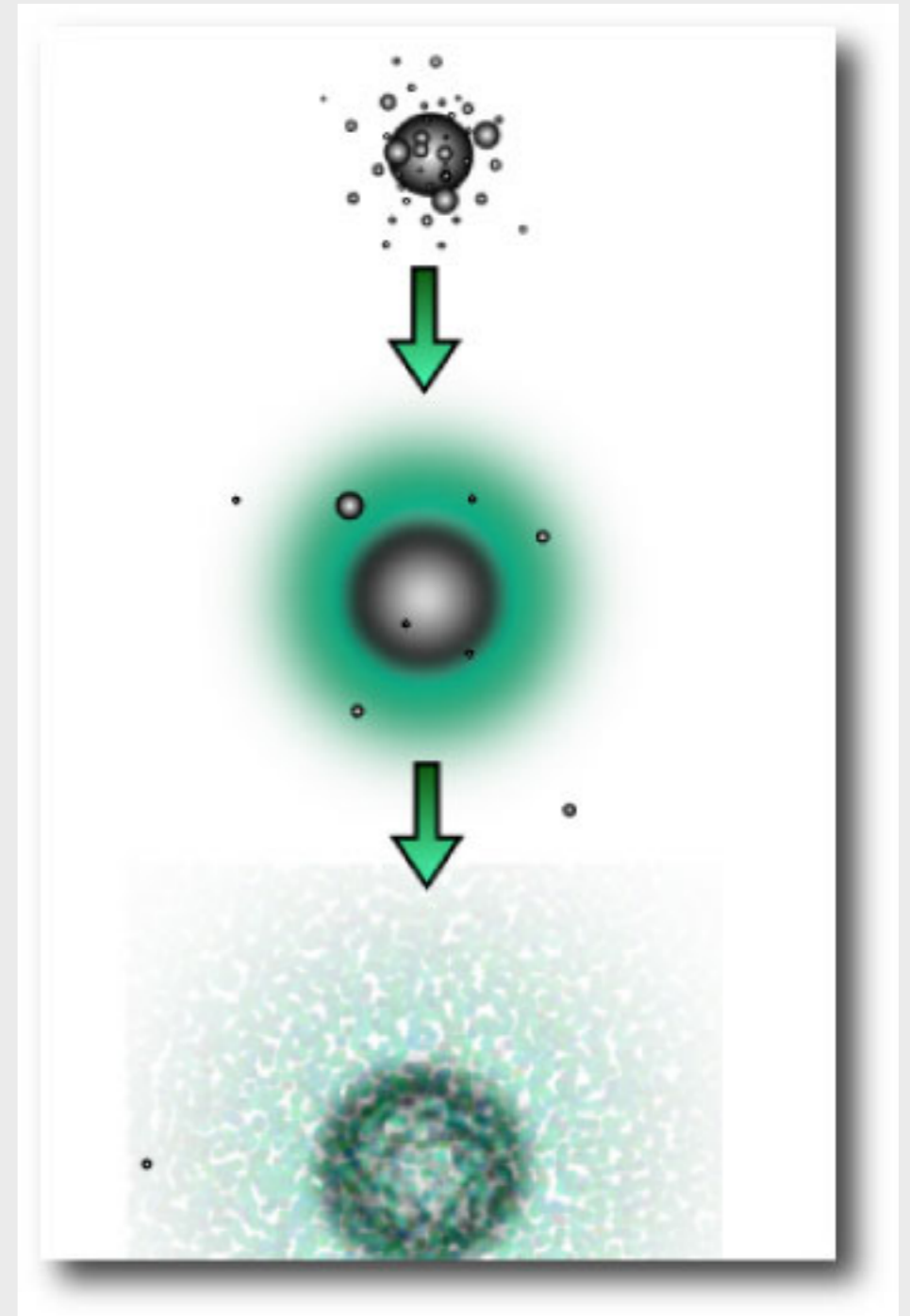


81P/Wild 2  
 $5.5 \times 4.0 \times 3.3$  km  
Stardust, 2004

# Entstehung von Planeten

## Zwei Hauptmechanismen

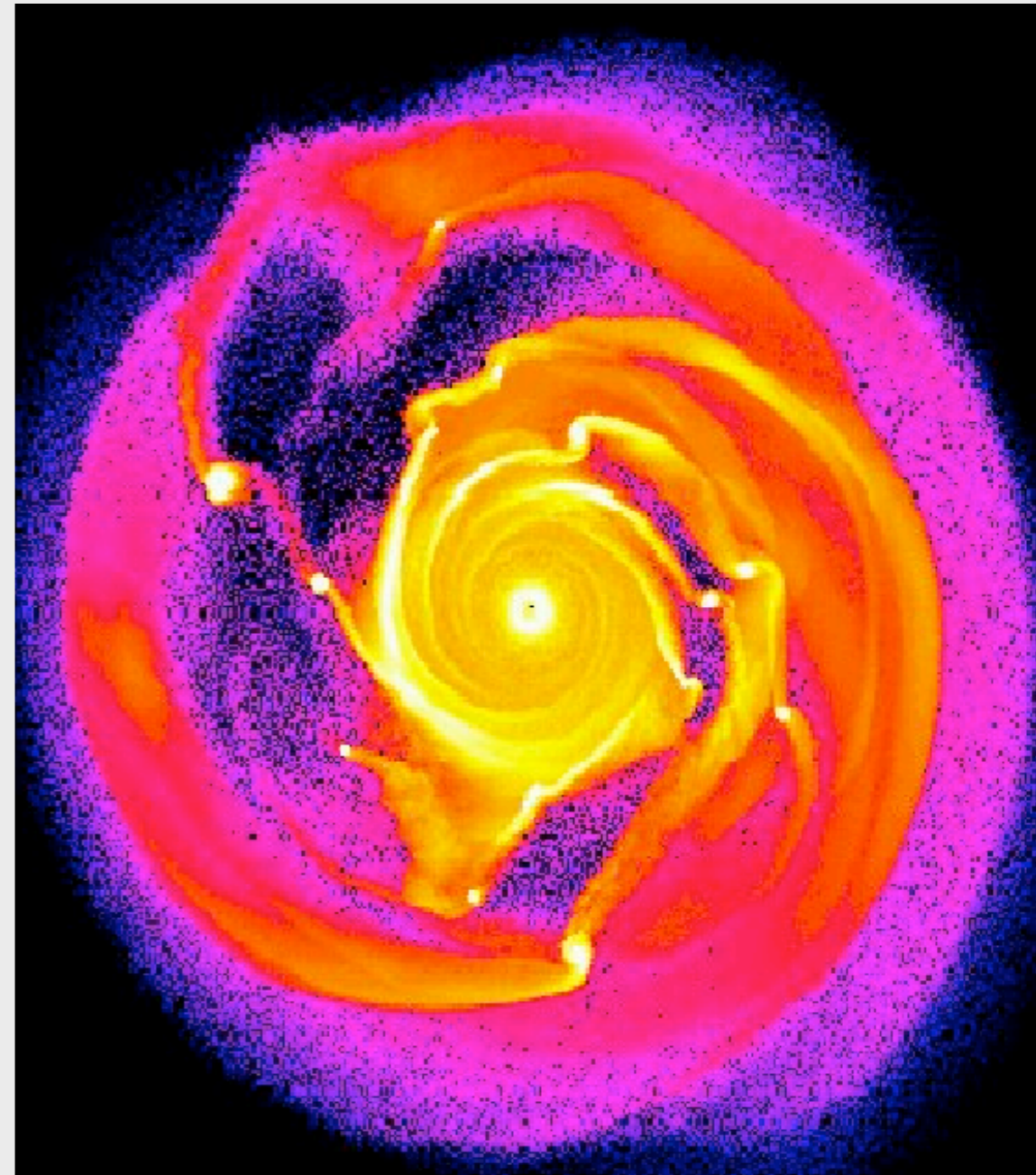
- **“core accretion” model:**
  - ⇒ **langsames** Anwachsen durch Koagulation:  
 $t \sim 1000$  Jahre für cm-Objekte  
+ Anziehung durch Gravitation
  - ⇒ effizient in Sternnähe ( $a < 5$  AE)  
in der Scheibenmitte
  - ⇒ terrestrische Planeten?



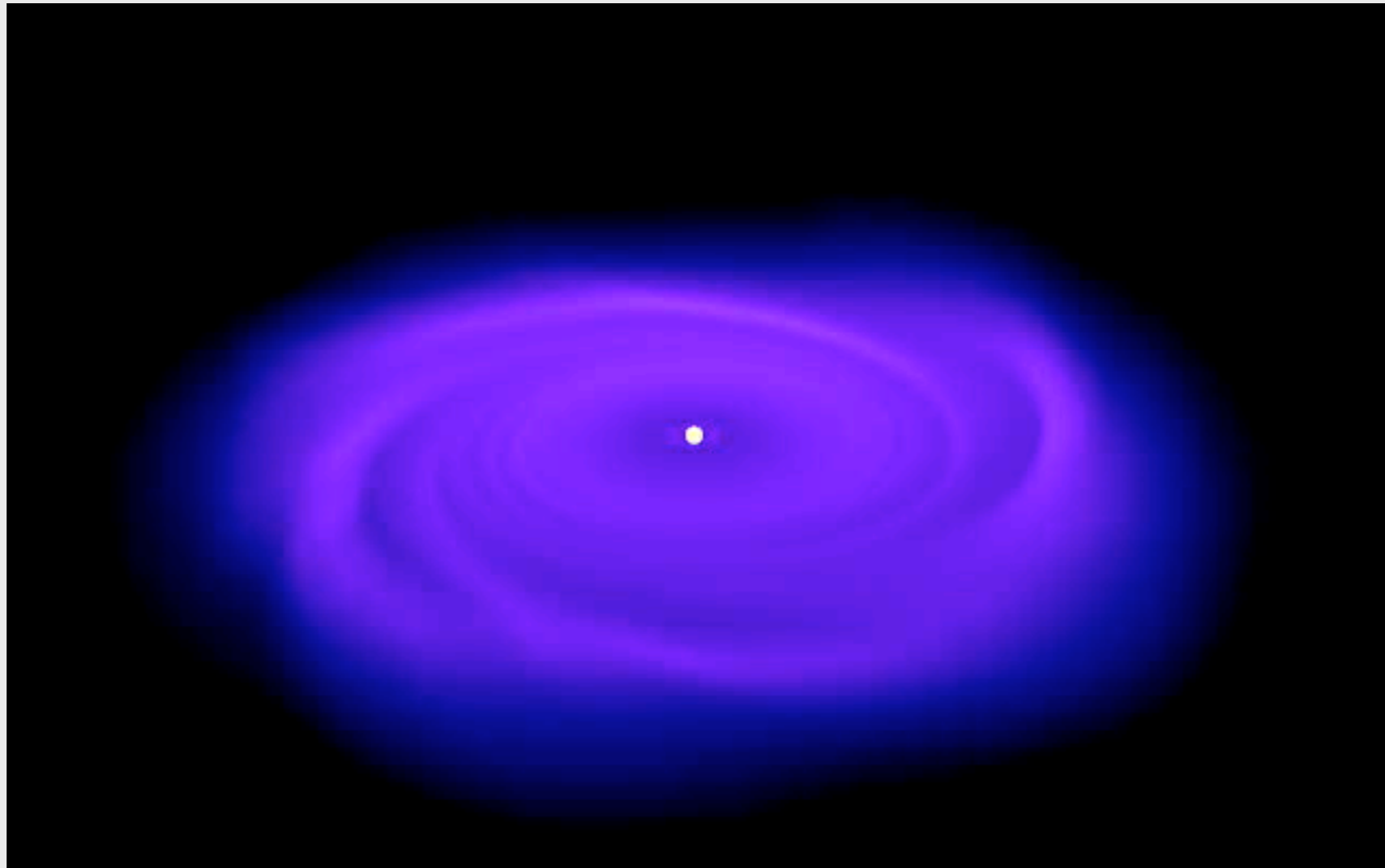
# Entstehung von Planeten

## Zwei Hauptmechanismen

- **“core accretion” model**
- **Gravitationsinstabilität in der Scheibe:**
  - ⇒ schneller Kollaps von dichten, kalten Regionen:  
 $t \sim 10$  Jahre für Gasriesen!
  - ⇒ effizient in kühlen Außenbereichen der Scheibe
  - ⇒ Gasriesen?



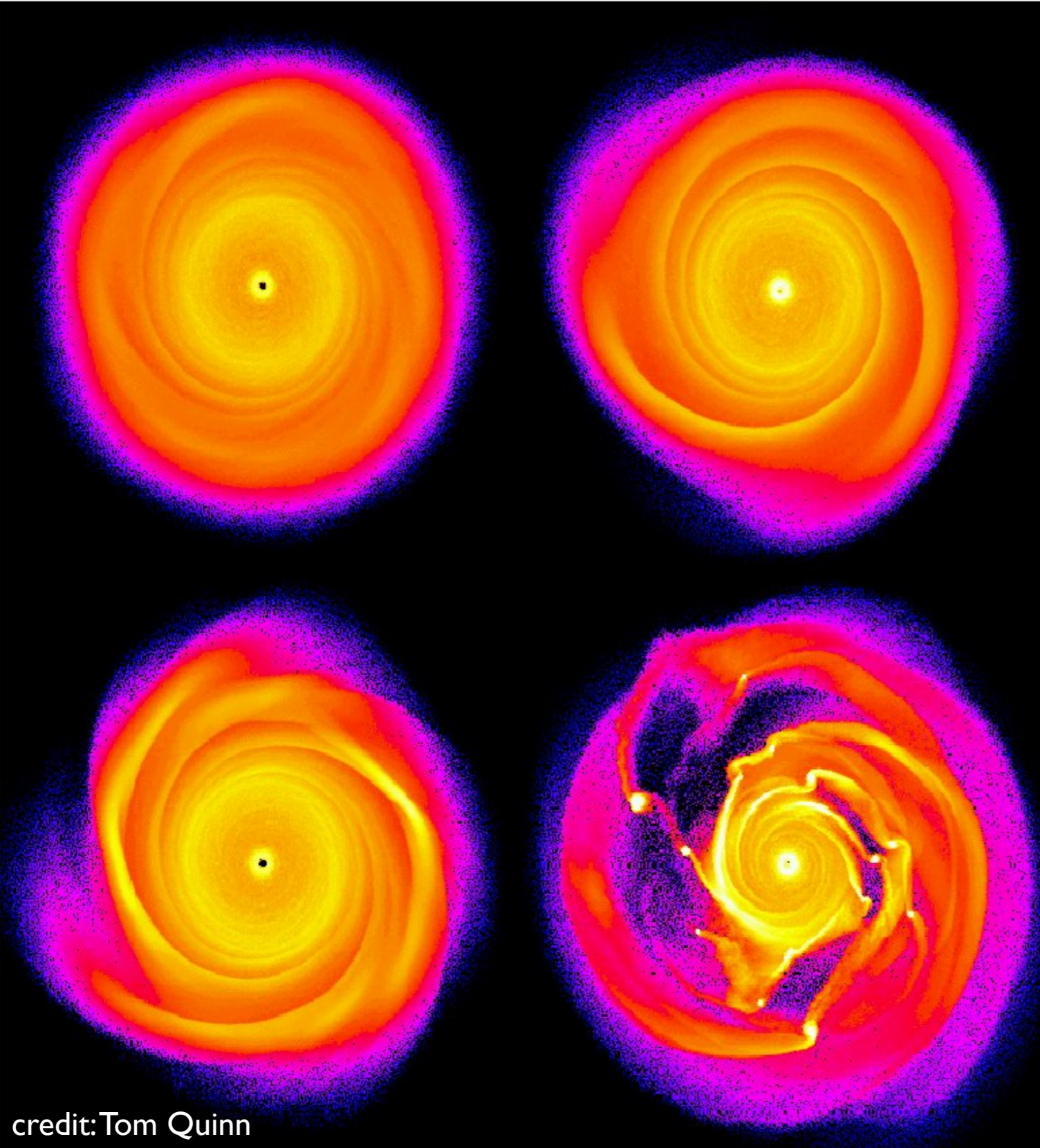
# Entstehung von Planeten



credit: James Wadsley

- Gravitationsinstabilität / Fragmentation der protoplanetaren Scheibe

# Entstehung von Planeten



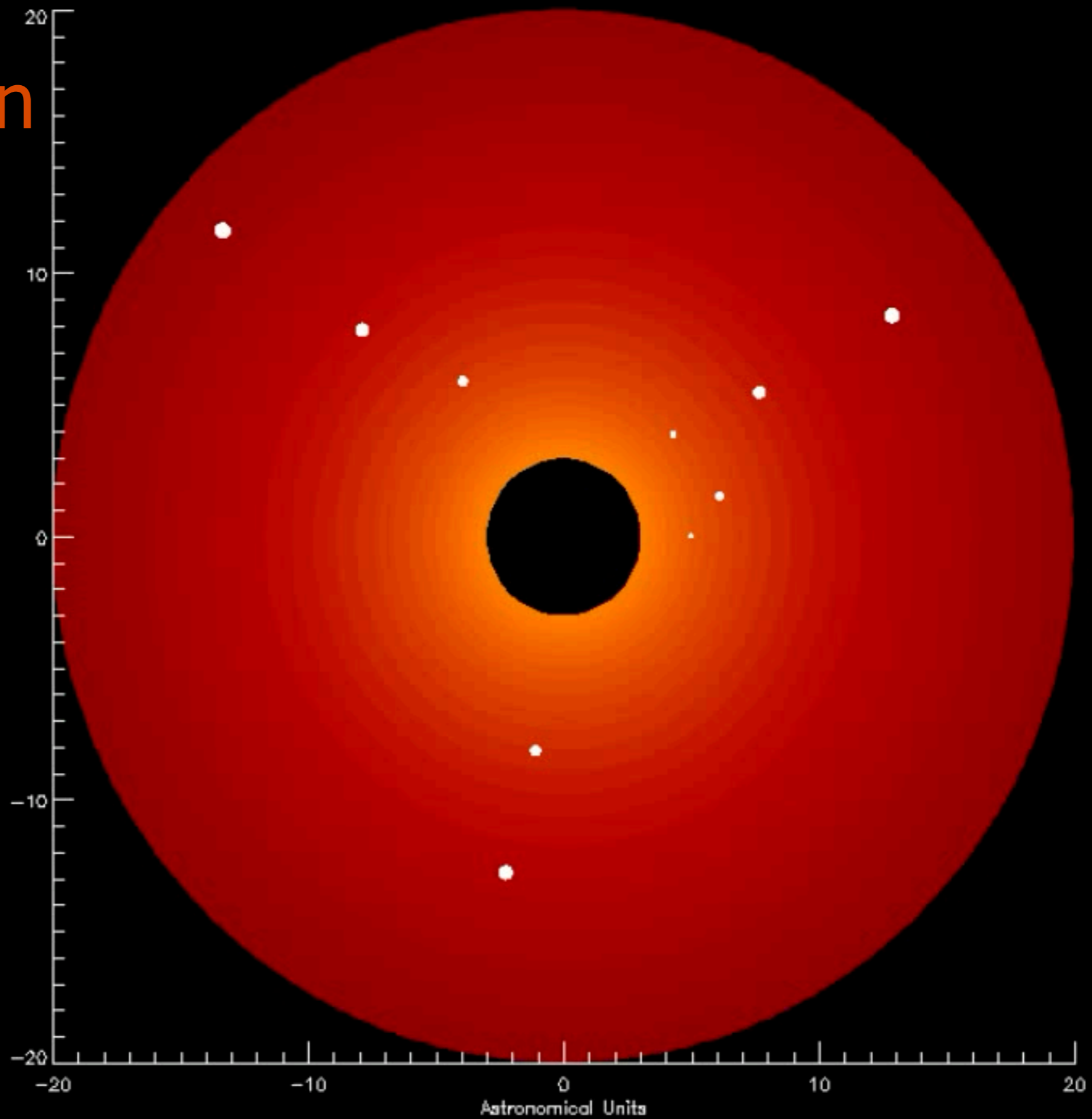
Fragmentation der Scheibe durch Gravitationsinstabilität

⇒ "schwere" Scheibe notwendig ( $\sim 1 M_{\odot}$ )

⇒ fester Kern der Gasplaneten?

⇒ "core accretion" + Fragmentation?

# Migration





# Entstehung von Planeten

## Offene Fragen

- **Drehimpulsverteilung:**
  - Masse der Sonne im Sonnensystem: 99.9 %
  - Drehimpuls der Sonne nur 0.5%
  - ⇒ wie wird der Drehimpuls umverteilt?
- **Entstehung Asteroidengürtel / Kuiper belt:**
  - Kollision mit Protoplaneten?
- **Statistik:**
  - erdähnliche Planeten / Gasriesen
  - Habitable Zone



# Leben im Weltraum?

Drake-Gleichung (von Frank Drake 1961 vorgestellt):

$$N = R_* \cdot f_p \cdot n_e \cdot f_l \cdot f_i \cdot f_c \cdot L$$

- $N$  : Anzahl intelligenter Zivilisationen
- $R_*$  : Sternentstehungsrate
- $f_p$  : Sterne mit Planetensystemen
- $n_e$  : Planeten in bewohnbarer (habitable) Zone
- $f_l \cdot f_i$  : Anteil mit intelligentem Leben
- $f_c$  : Willig zur Kommunikation
- $L$  : Lebensdauer einer solchen Zivilisation

